

บทที่ 4

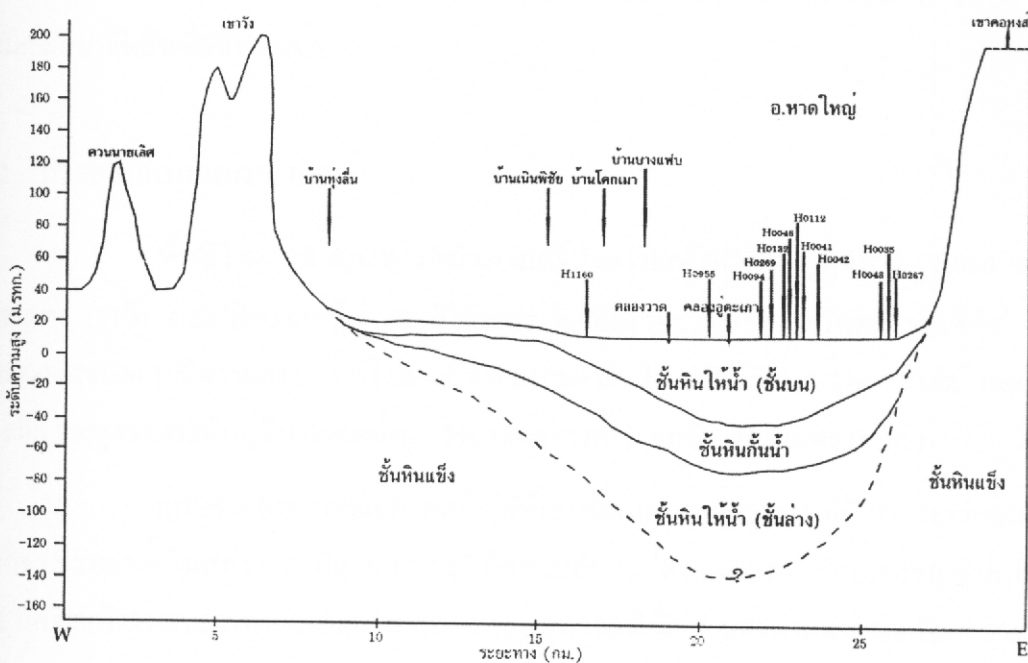
แบบจำลองคณิตศาสตร์น้ำบาดาล

4.1 แบบจำลองเชิงมโนทัศน์ (Conceptual Model)

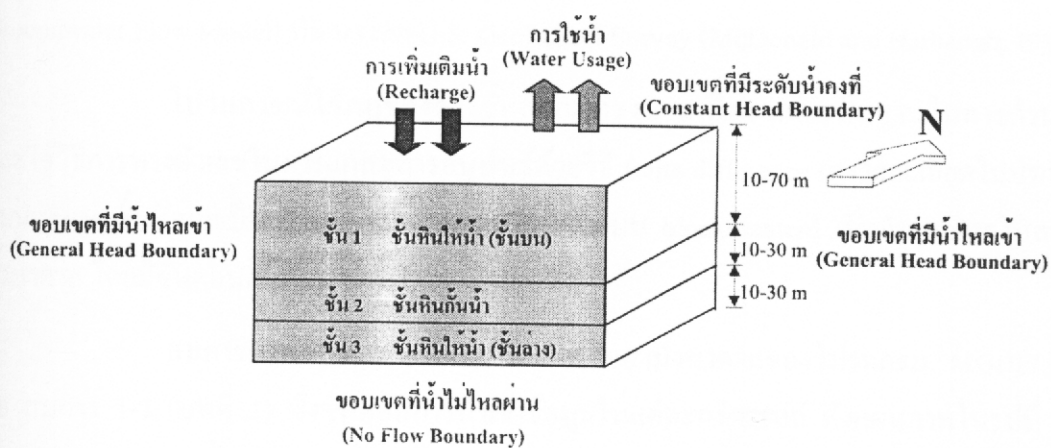
แบบจำลองเชิงมโนทัศน์ของแม่น้ำค่าไถ่ ประเมินจากระบบอุทกธารภูมิวิทยาในพื้นที่ศึกษา ซึ่งประกอบด้วยเทือกเขาสูงทางทิศตะวันตกเป็นชั้นหินให้น้ำหินตะกอนกึ่งหินแปรตามแนวเชิงเขา ส่วนทางทิศตะวันออกเป็นชั้นหินให้น้ำหินตะกอนกึ่งหินแปรตามแนวเชิงเขาและชั้นหินให้น้ำหินตะกอน พื้นที่ตอนกลางเป็นชั้นหินให้น้ำหินตะกอนน้ำพานและตะกอนตะพักล่างน้ำสูงที่ประกอบไปด้วยตะกอนดินเหนียวที่มีความหนา แทรกสับด้วยตะกอนกรวดทราย ที่ระดับความลึกต่างๆ ด้านล่างจะรองรับด้วยชั้นหินแข็ง ชั้นหินให้น้ำระดับตื้นจะมีทั้งชั้นหินให้น้ำไร้แรงดันและชั้นหินให้น้ำกึ่งภายในได้แรงดัน ส่วนชั้นหินให้น้ำระดับลึกลงไปจะเป็นชั้นหินให้น้ำมีแรงดันที่มีค่าสัมประสิทธิ์การยอมให้น้ำซึมผ่านแตกต่างกัน น้ำบาดาลในแม่น้ำค่าไถ่ส่วนใหญ่ส่วนใหญ่ในแนวนอนในบริเวณที่มีความสามารถในการยอมให้น้ำซึมผ่านได้ดี โดยมีทิศทางการไหลหลักๆ จากทิศตะวันออก ทิศตะวันตก และทิศใต้ เข้าสู่บริเวณที่รับตຽrogationของพื้นที่ แล้วไหลไปทางทิศเหนือ ออกสู่ทะเลสาบสงขลา

จากข้อมูลห้องเจาะ 528 ห้อง ของกรมทรัพยากรน้ำบาดาล ได้ถูกนำมาวิเคราะห์ลักษณะโครงสร้างทางอุทกธารภูมิวิทยา และสร้างเป็นรูปภาพตัดขวางของพื้นที่ศึกษา (รูปที่ 4-1) และแบบจำลองเชิงมโนทัศน์ (รูปที่ 4-2) โดยคุณสุนทร ปัญชาสุธรรม (ติดต่อส่วนตัว) เพื่อใช้ในการจำลองทางคณิตศาสตร์ในงานวิจัยนี้

จากรูปที่ 4-2 ชั้นหินให้น้ำแบ่งออกเป็น 2 ชั้น คือ ชั้นหินให้น้ำชั้นบนและชั้นหินให้น้ำชั้นล่าง โดยชั้นหินให้น้ำชั้นบนเป็นชั้นหินให้น้ำไร้แรงดันถึงชั้นหินให้น้ำกึ่งภายในได้แรงดันประกอบไปด้วยชั้นทรายละเอียดจนถึงทรายหยาบ มีกรวดของตะกอนทางน้ำปั๊งจุบันปะเล็กน้อย และชั้นบนประกอบไปด้วยชั้น กรวด ทราย ทรายละเอียด และดินเหนียวของตะกอนทางน้ำเก่า ทราย และกรวดที่พบมีขนาดตั้งแต่ทรายละเอียดจนถึง 5 เซนติเมตร การคัดขนาดค่อนข้างดี ความหนาของชั้นน้ำบาดาลอยู่ระหว่าง 10-70 เมตร ชั้นตะกอนเหล่านี้พบอยู่ตามบริเวณที่ราบลุ่มทั่วไป และได้รับน้ำจากน้ำฝนโดยตรง ส่วนชั้นหินให้น้ำชั้นล่างเป็นชั้นหินให้น้ำกึ่งภายในได้แรงดัน ความหนาของชั้นน้ำบาดาลอยู่ระหว่าง 10-30 เมตร ประกอบด้วยตะกอนกรวดทรายของทางน้ำเก่า และตะกอน



รูปที่ 4-1 แผนภาพแสดงภาพตัดขวางของการแบ่งชั้นพื้นให้น้ำ บริเวณอำเภอหาดใหญ่
(สร้างโดย สุนทร ปัญญาสุธารา กรมทรัพยากรน้ำบาดาล)



รูปที่ 4-2 แผนภาพแสดงแบบจำลองเชิงโน้ตค์ของแบบจำลองทางคณิตศาสตร์เรื่องหาดใหญ่
(ความหนาของชั้นหินให้น้ำสร้างโดย สุนทร ปัญญาสุธรรม กรรมการพยากรณ์อากาศ
สำหรับลักษณะของเขตแต่ละประเภท กำหนดโดยผู้วิจัย)

ที่รับเชิงขา ชั้นหินให้น้ำทั้งสองดูกแยกออกจากกันด้วยชั้นดินเหนียวที่มีความหนา 10-30 เมตร ซึ่งมีคุณสมบัติเป็นชั้นหินกันน้ำ

4.2 การออกแบบแบบจำลอง

พื้นที่ในการจำลองทางคณิตศาสตร์สำหรับอ่างหาดใหญ่มีขนาด 1,608 ตาราง กิโลเมตร (รูปที่ 4-3) มีความกว้าง 30 กิโลเมตร ตามแนวตะวันออก-ตะวันตก จากพิกัด¹ UTM 640000-670000 E มีความยาว 75 กิโลเมตร ตามแนวเหนือ-ใต้ จากพิกัด¹ UTM 720000-795000 N และมีความสูงของระดับภูมิประเทศตั้งแต่ 390 เมตร (รถก.) จนถึง -170 เมตร (รถก.)

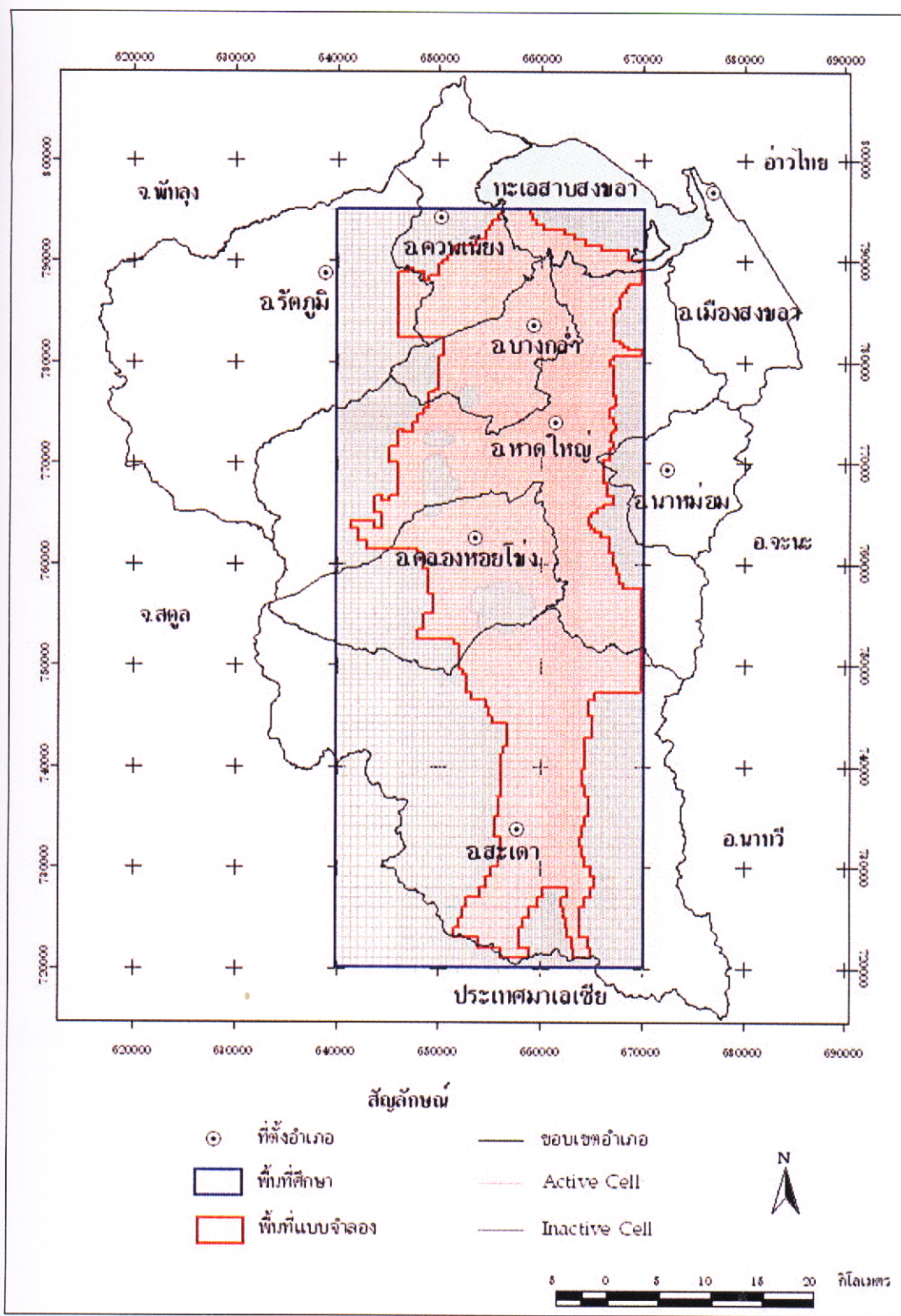
แบบจำลองทางคณิตศาสตร์ที่ใช้ศึกษาที่เป็นแบบจำลอง 3 มิติ ทำการจำลองสภาพ อุทกธารภัยวิทยาทั้งในสภาพคงที่และสภาพที่มีการเปลี่ยนแปลงตามเวลา ขอบเขตของแบบจำลอง กำหนดโดยพิจารณาสภาพทางกายภาพ อุทกวิทยา อุทกธารภัยวิทยา และตำแหน่งน้ำสังเกตการณ์ที่มีอยู่

โปรแกรมที่ใช้ในการศึกษาครั้งนี้ คือ Visual MODFLOW Version 2.8.1 (Waterloo Hydrogeologic, Inc., 1999) ประเทศไทย (ลิขสิทธิ์ของกรมทรัพยากรน้ำภาค) โดย ให้ในการเตรียมข้อมูลก่อนการคำนวณและแสดงผลการคำนวณ ส่วนโปรแกรมที่ใช้ในการคำนวณ การไหลของน้ำภาค คือ โปรแกรม MODFLOW (Modular Three-Dimension Finite-Difference Groundwater Flow Model) พัฒนาโดย U.S. Geological Survey (McDonald and Harbaugh, 1988)

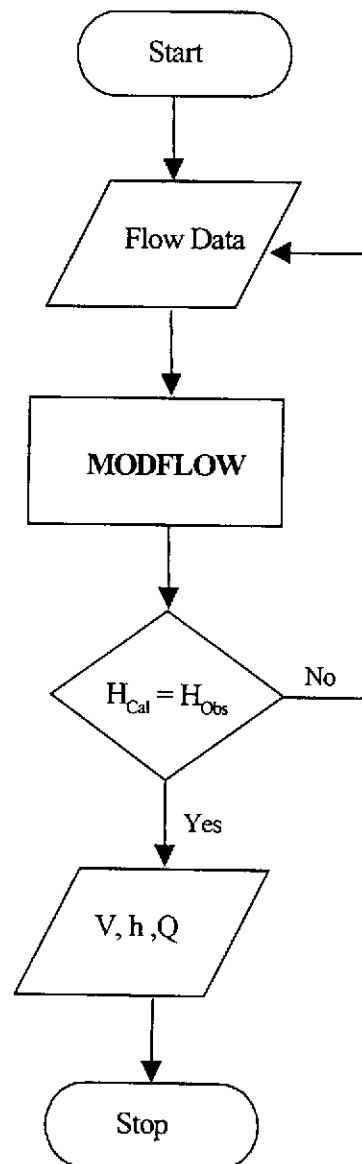
โปรแกรมนี้ใช้กฎของคาร์ซิและกฎทรงมวลเป็นสมการพื้นฐานในการคำนวณ และใช้วิธีการทางด้านเลขในการแก้สมการอนุพันธ์ด้วยวิธี finite difference (คุณรายละเอียดในบทที่ 1) จากการแบ่งพื้นที่ออกเป็นรูปสี่เหลี่ยมหรือกริด (grid) แบบ block-centered เพื่อจำลองการไหลของน้ำภาค โดยมีขั้นตอนการจำลอง ดังแสดงในรูปที่ 4-4

สมการหลักที่ใช้ในการจำลองการไหลของน้ำภาคของโปรแกรม MODFLOW คือ สมการ 1-7 (บทที่ 1) ซึ่งขั้นตอนการนำเข้าข้อมูลในแต่ละกริดเซลล์ ตั้งแผนภาพในรูปที่ 4-5 แสดงรายละเอียดดังนี้

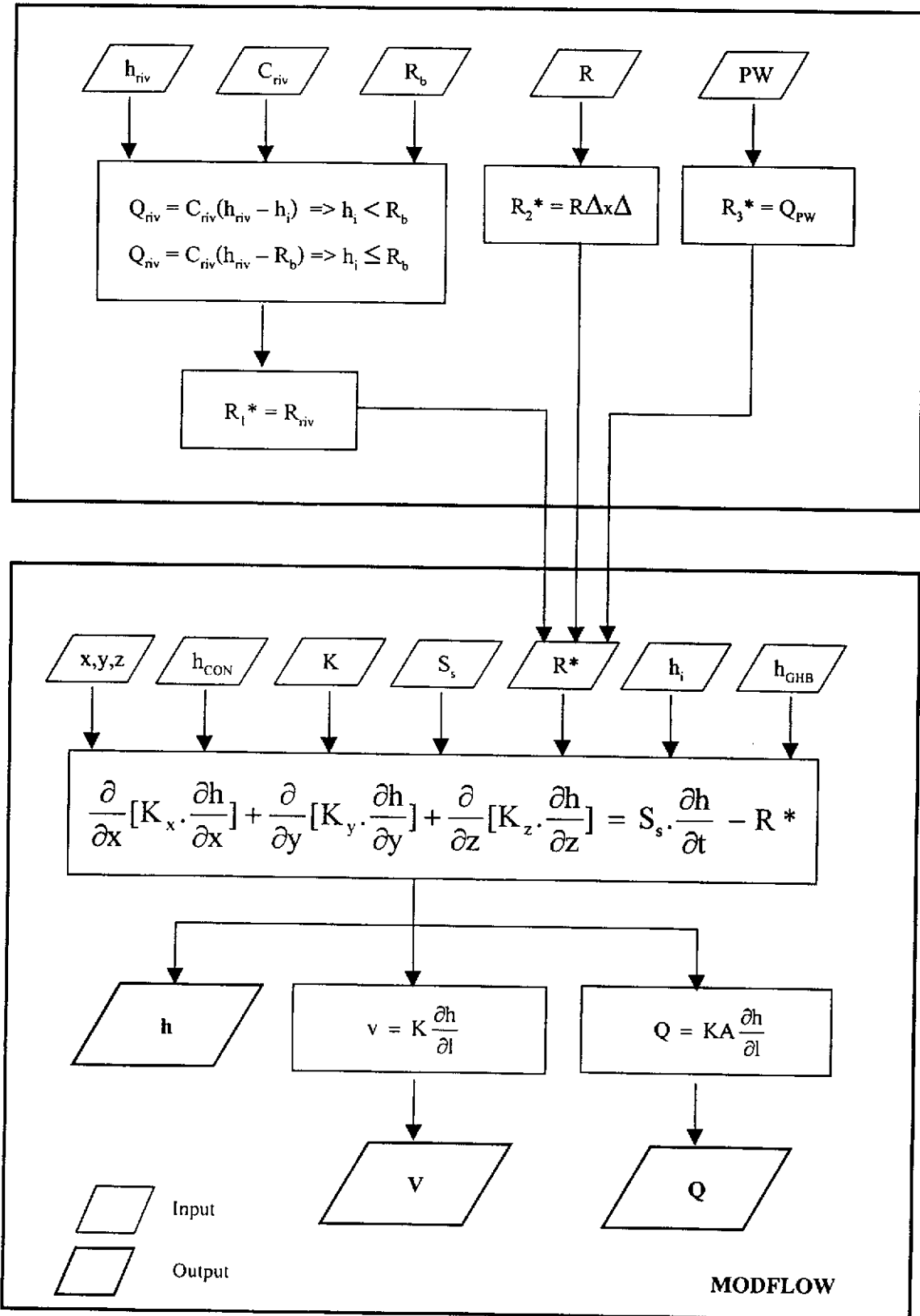
¹ พิกัดที่ใช้ในการศึกษาครั้งนี้ใช้ระบบ INDIAN 1975 Zone 47



รูปที่ 4-3 แผนที่แสดงพื้นที่แบบจำลองทางคณิตศาสตร์แห่งหาดใหญ่



รูปที่ 4-4 แผนภาพแสดงขั้นตอนการจำลองการไหลของน้ำบาดาล โดยโปรแกรม MODFLOW



รูปที่ 4-5 แผนภาพแสดงการนำเข้าข้อมูลสู่โปรแกรม MODFLOW และผลที่ได้จากการจำลอง

1. ข้อมูลหลักซึ่งเป็นค่าที่ต้องกำหนดในทุกริบบิ้งเซลล์ ประกอบด้วย

- (1) x, y, z คือ ขนาดของริบบิ้งเซลล์
- (2) h_i คือ ค่าระดับนาดาลในเซลล์ i เป็นพังก์ชันของพื้นที่และเวลา
- (3) K คือ ค่าสัมประสิทธิ์การยอมให้น้ำซึมผ่าน เป็นพังก์ชันของพื้นที่
- (4) Ss คือ ค่าสัมประสิทธิ์การกักเก็บจำเพาะ เป็นพังก์ชันของพื้นที่

2. ข้อมูลที่เป็นค่าวแทนของขอบเขตทางน้ำใต้ดิน ซึ่งขึ้นอยู่กับลักษณะภูมิศาสตร์เซลล์นั้นๆ ประกอบด้วย

- (1) h_{CON} คือ ค่าระดับน้ำของขอบเขตที่มีระดับน้ำคง เป็นพังก์ชันของพื้นที่และเวลา
- (2) h_{GHB} คือ ค่าระดับน้ำของขอบเขตที่มีน้ำไหลเข้า เป็นพังก์ชันของพื้นที่และเวลา
- (3) R คือ ค่าปริมาณการเพิ่มเติมน้ำสุทธิจากน้ำ เป็นพังก์ชันของพื้นที่และเวลา
- (4) PW คือ ค่าปริมาณการสูญเสียน้ำจากการสูบน้ำ เป็นพังก์ชันของพื้นที่และเวลา
- (5) ในกรณีของขอบเขตที่เป็นแม่น้ำ จะมีการนำเข้าข้อมูลเป็นชุดดังนี้
 - h_{nv} คือ ระดับน้ำของแม่น้ำ เป็นพังก์ชันของพื้นที่และเวลา
 - C_{nv} คือ ค่าความนำของน้ำผ่านตะกอนห้องน้ำ เป็นพังก์ชันของพื้นที่
 - R_n คือ ค่าระดับห้องน้ำ เป็นพังก์ชันของพื้นที่

4.2.1 การออกแบบริบบิ้ก

ในการจำลองได้แบ่งพื้นที่แบบจำลอง เป็นริบบิ้กเล็กๆ โดยแบ่งแนวตะวันออก-ตะวันตกเป็น 86 สมมติ แนวเหนือ-ใต้เป็น 158 แต่ แบ่งความสูงของพื้นที่เป็น 13 ชั้น ริบบิ้กเล็กทั้งสิ้น 176,644 ริบบิ้กเล็ก เขตอ่างเกอหาดใหญ่ซึ่งมีการสูบน้ำนาดาลขึ้นมาไว้มาก จึงได้ทำการแบ่งริบบิ้กให้มีขนาดเล็กลง 200×200 ตารางเมตร เพื่อให้ได้ผลการจำลองละเอียดขึ้น โดยมีรายละเอียดการแบ่ง ริบบิ้กของพื้นที่ศึกษาในแต่ละด้านเป็น (รูปที่ 4-6 (ก) และ รูปที่ 4-7) ดังต่อไปนี้

- 1) พื้นที่แบบจำลอง แนวตะวันออก-ตะวันตก แบ่งริบบิ้กออกเป็น 86 สมมติ นิความกว้างของสมมติตั้งแต่ 200, 300, 400, 500 และ 750 เมตร

| | | | | | |
|-----|---------|-----------------|------------------------------|-----|------|
| โดย | ส่วนที่ | 1-8 | มีความกว้างของส่วนที่เท่ากับ | 750 | เมตร |
| | ส่วนที่ | 9-16 | มีความกว้างของส่วนที่เท่ากับ | 500 | เมตร |
| | ส่วนที่ | 17-26 | มีความกว้างของส่วนที่เท่ากับ | 400 | เมตร |
| | ส่วนที่ | 27-46 และ 67-86 | มีความกว้างของส่วนที่เท่ากับ | 300 | เมตร |
| | ส่วนที่ | 47-66 | มีความกว้างของส่วนที่เท่ากับ | 200 | เมตร |

2) พื้นที่แบบจำลอง แนวเหนือ-ใต้ แบ่งกริดออกเป็น 158 แคว มีความกว้างของแต่ละชั้นแต่ 200, 300, 400, 500, 750 และ 1,000 เมตร

| | | | | | |
|-----|--------|------------------|--------------------------|-------|------|
| โดย | แควที่ | 140-158 | มีความกว้างของแควเท่ากับ | 1,000 | เมตร |
| | แควที่ | 128-129 | มีความกว้างของแควเท่ากับ | 750 | เมตร |
| | แควที่ | 1-10 และ 106-127 | มีความกว้างของแควเท่ากับ | 500 | เมตร |
| | แควที่ | 11-30 และ 86-105 | มีความกว้างของแควเท่ากับ | 400 | เมตร |
| | แควที่ | 31-50 และ 66-85 | มีความกว้างของแควเท่ากับ | 350 | เมตร |
| | แควที่ | 51-65 | มีความกว้างของแควเท่ากับ | 200 | เมตร |

3) ความสูงของแบบจำลองแบ่งเป็น 13 ชั้น มีความสูง 390 ถึง -170 เมตร (รทก.)

| | | | |
|-----|---------|-------|---------------------------------|
| โดย | ชั้นที่ | 1-6 | ชั้นหนึ่งให้น้ำชั้นบน |
| | ชั้นที่ | 7-9 | ชั้นหนึ่งก้นน้ำ |
| | ชั้นที่ | 10-12 | ชั้นหนึ่งให้น้ำชั้นล่าง |
| | ชั้นที่ | 13 | กำหนดเป็นขอบเขตที่น้ำไม่ไหลผ่าน |

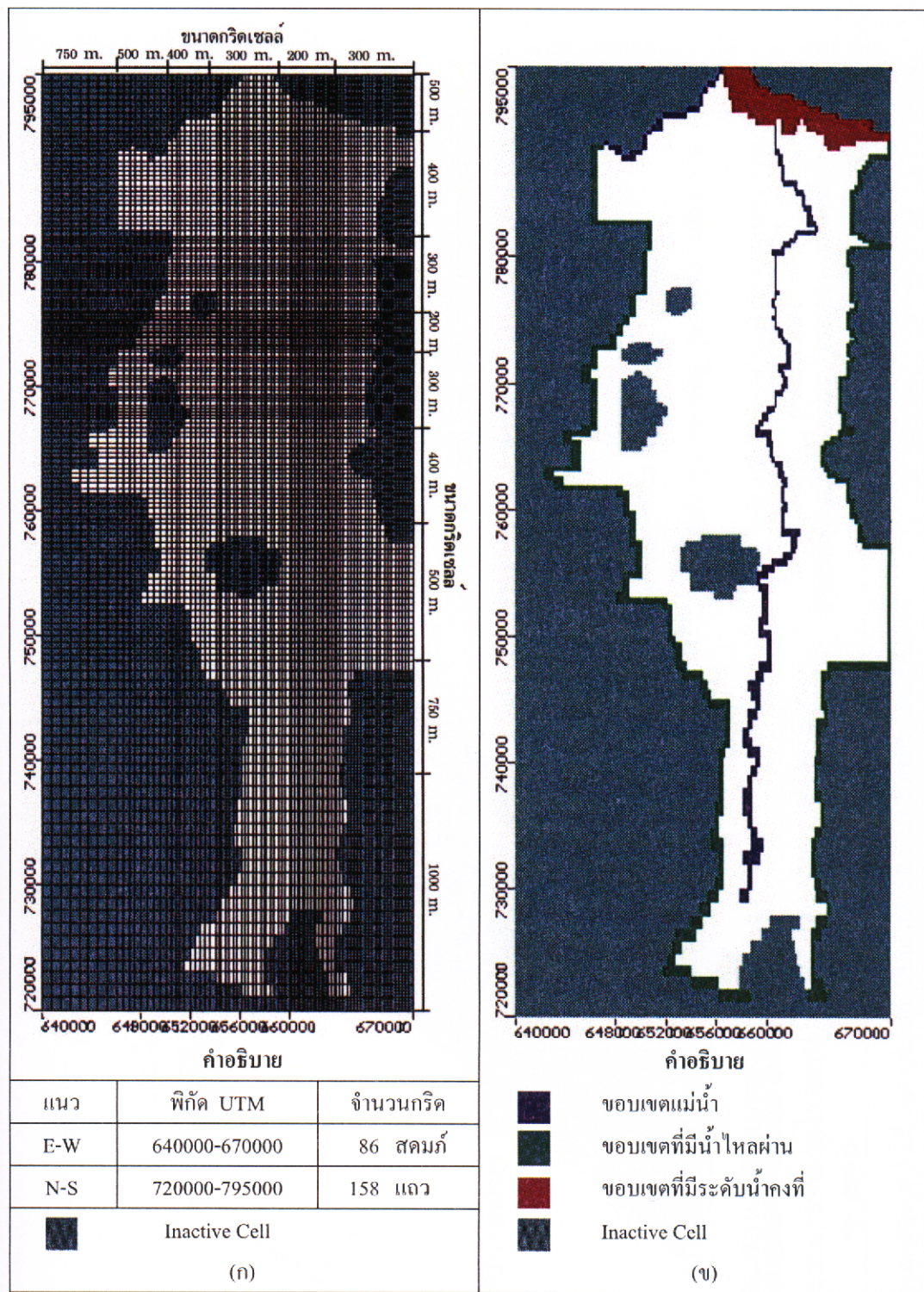
4.2.2 สภาพขอบเขตของแบบจำลอง (Boundary conditions)

ในการศึกษานี้ ผู้วิจัยได้กำหนดขอบเขตของแบบจำลองซึ่งเป็นตัวควบคุมระบบการไหลของน้ำตามในแบบจำลอง แบ่งโดยอาศัยลักษณะทางกายภาพ พิจารณาจากสภาพภูมิประเทศ ได้แก่ ภูเขา แม่น้ำ ทะเล และขอบเขตทางอุทกศาสตร์ ได้แก่ แนวสันปันน้ำ แต่ละด้าน กำหนดสภาพขอบเขต ดังนี้ (รูปที่ 4-6 (ข) และ รูปที่ 4-7)

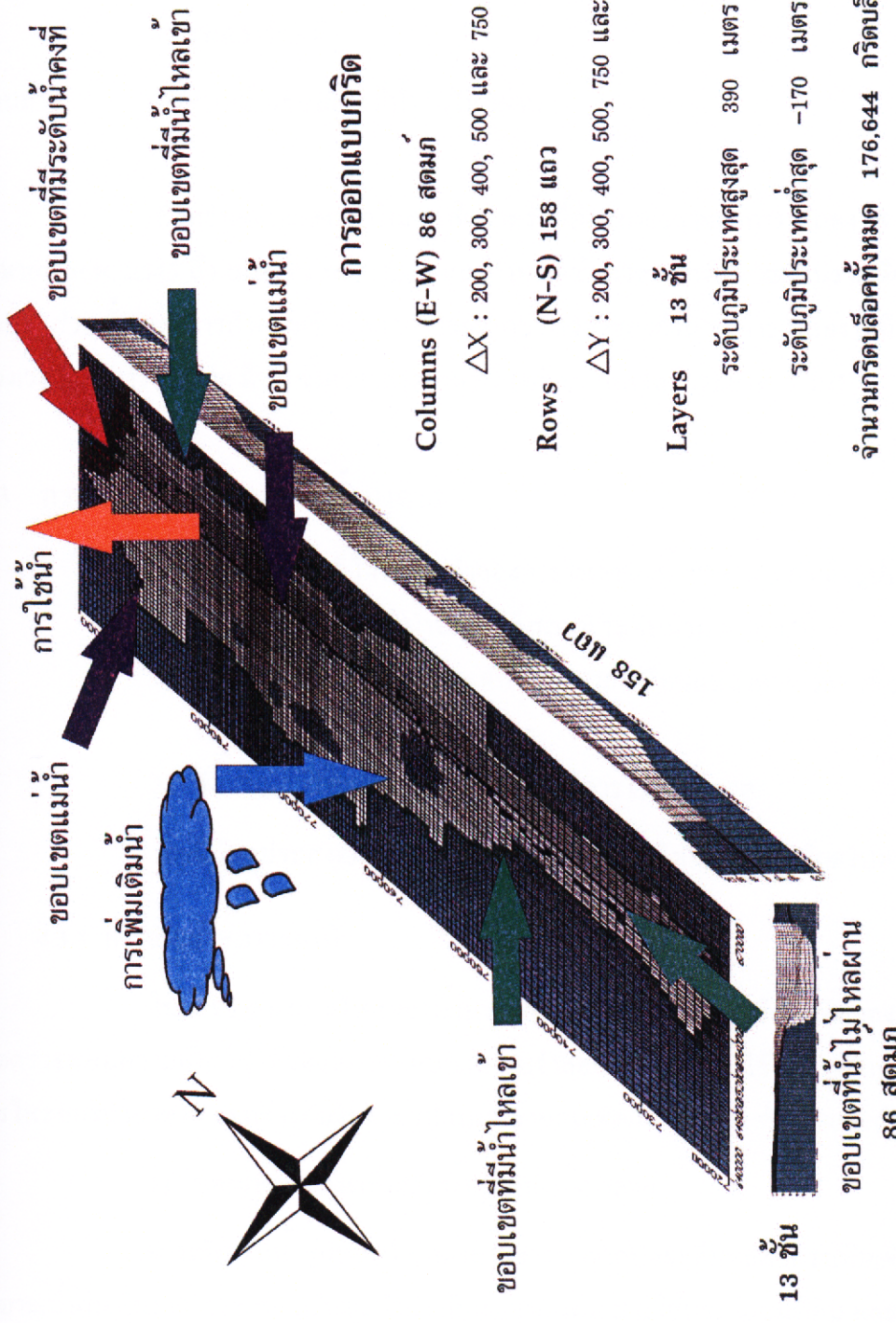
ทิศเหนือ เป็นแนวทะเลสาบสังขลา กำหนดเป็นขอบเขตที่มีระดับน้ำคงที่ ที่ 0 ม. (รทก.)

ทิศใต้ เป็นแนวที่ออกเข้าสันกำแพงคีรี กั้นระหว่างประเทศไทยและประเทศมาเลเซีย กำหนดเป็นขอบเขตที่น้ำไม่ไหลผ่าน

ทิศตะวันออก เป็นแนวหินแข็งที่มีค่าสัมประสิทธิ์การซึมผ่านต่ำ และเป็นภูเขาสูง กำหนดเป็นขอบเขตที่น้ำไหลเข้า



รูปที่ 4-6 แผนภาพแสดง (ก) การออกแบบกริด และ (ข) สภาพขอบเขตของแบบจำลอง



รูปที่ 4-7 แผนภาพแสดงรูป 3 มิติ ของการออกแบบริบบิ้งและสภาพของฐานท่าของแนวกำแพง

| | |
|------------|--|
| ทิศตะวันตก | เป็นแนวหินแข็งที่มีค่าสัมประสิทธิ์การซึมผ่านต่ำและเป็นภูเขาสูง กำหนดเป็นขอนเขตที่น้ำไหลเข้า |
| ด้านบน | เป็นขอนเขตที่มีการเพิ่มเติมน้ำ (รายละเอียดในหัวข้อ 3.10 บทที่ 3) และขอนเขตแม่น้ำแหล่งน้ำพิเศษที่สำคัญในพื้นที่เป็นขอนเขตแม่น้ำมี 2 สาย คือ คลองอู่ตะเภา และคลองรัตภูมิ |
| ด้านล่าง | กำหนดเป็นขอนเขตที่น้ำไม่ไหลผ่าน |

สำหรับขอนเขตเวลาในการศึกษาครั้งนี้กำหนดเวลาของการจำลอง 5 ปี เริ่มจาก พฤษภาคม พ.ศ. 2545 ถึง เมษายน พ.ศ. 2550 และกำหนดช่วงเวลาการคำนวณเป็นรายเดือน (60 ช่วงเวลา) ส่วนขั้นเวลาการคำนวณซึ่งเป็นเวลาอย่างจากช่วงเวลาของคำนวณการจำลองได้กำหนดให้ 1 ช่วงเวลาของคำนวณ มี 10 ขั้นเวลาการคำนวณ (หรือ 1 ขั้นเวลาประมาณ 3 วัน)

4.3 กรณีจำลองการไหลของน้ำบาดาล

ในการศึกษาครั้งนี้ได้ทำการจำลองการไหลของน้ำบาดาล 3 กรณี (รูปที่ 4-8) คือ

- 1) จำลองการไหลของน้ำบาดาลที่สภาวะระดับน้ำบาดาลคงที่
- 2) จำลองการไหลที่สภาวะระดับน้ำบาดาลเปลี่ยนแปลงตามเวลา เพื่อทำการปรับเทียบพารามิเตอร์ของการจำลอง
- 3) จำลองการไหลเพื่อประเมินศักยภาพการใช้น้ำบาดาล

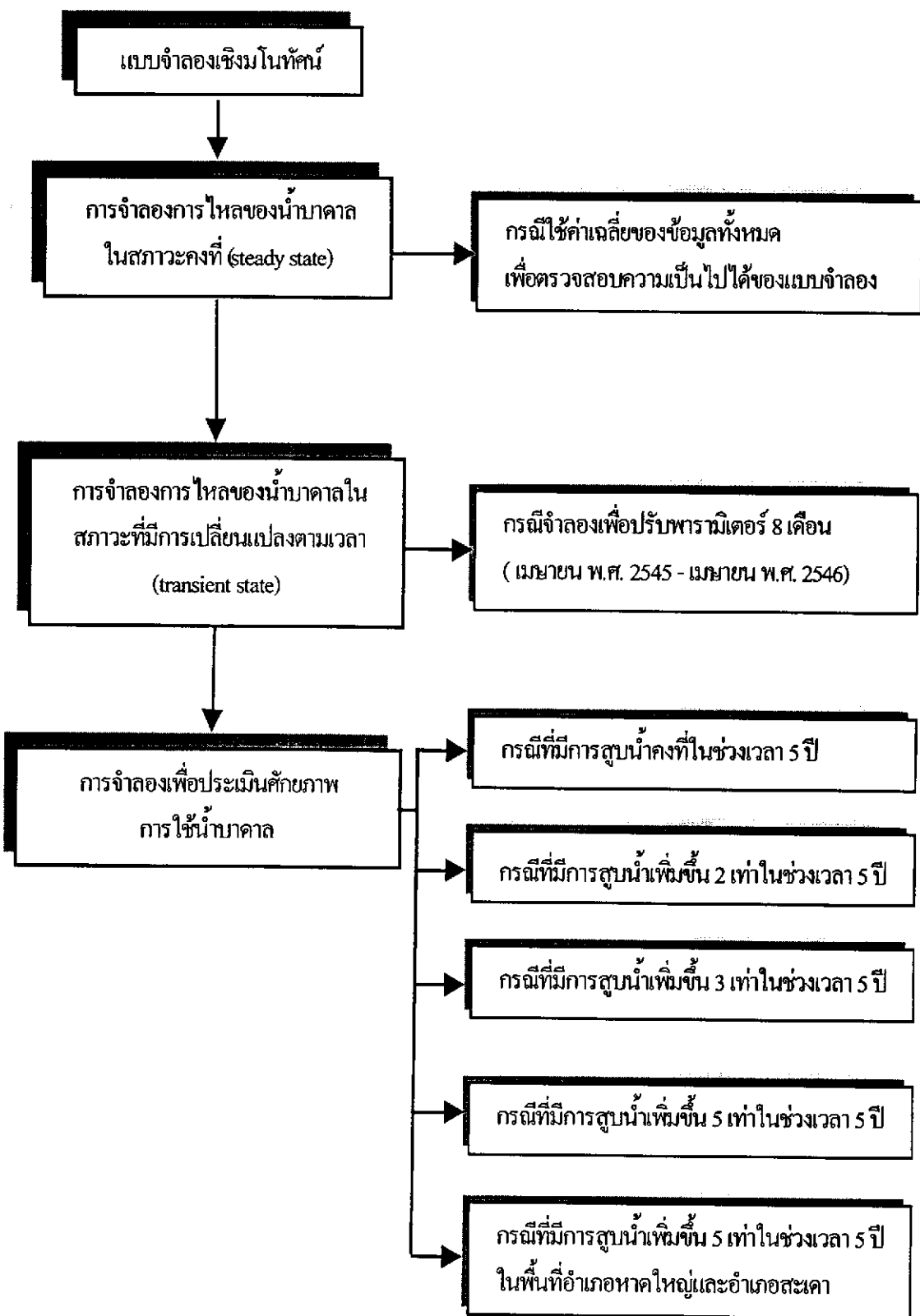
โดยมีวัตถุประสงค์และเงื่อนไขของการจำลอง ดังแสดงรายละเอียดในตาราง 4-1

4.3.1 การจำลองสภาวะคงที่

ในการจำลองการไหลของน้ำบาดาลในสภาวะคงที่โดยใช้ค่าเฉลี่ยของข้อมูลต่างๆ เพื่อตรวจสอบความเป็นไปได้ของสภาพขอนเขตแบบจำลอง ข้อมูลที่ใช้ในการศึกษาสมดุลและการไหลของน้ำบาดาล แตกต่างกันในความรูปแบบของขอนเขตแบบจำลอง ดังนี้รายละเอียดต่อไปนี้

- 1) ขอนเขตที่มีการเพิ่มเติมน้ำสู่แหล่งน้ำบาดาล

การเพิ่มเติมน้ำสู่แหล่งน้ำบาดาล พิจารณาจากปัจจัยที่มีผลต่อการเพิ่มเติมน้ำ ได้แก่ ปริมาณน้ำฝน อัตราการระเหย ปริมาณน้ำท่า ลักษณะของคิน การใช้ประโยชน์ที่ดิน และความสูงที่



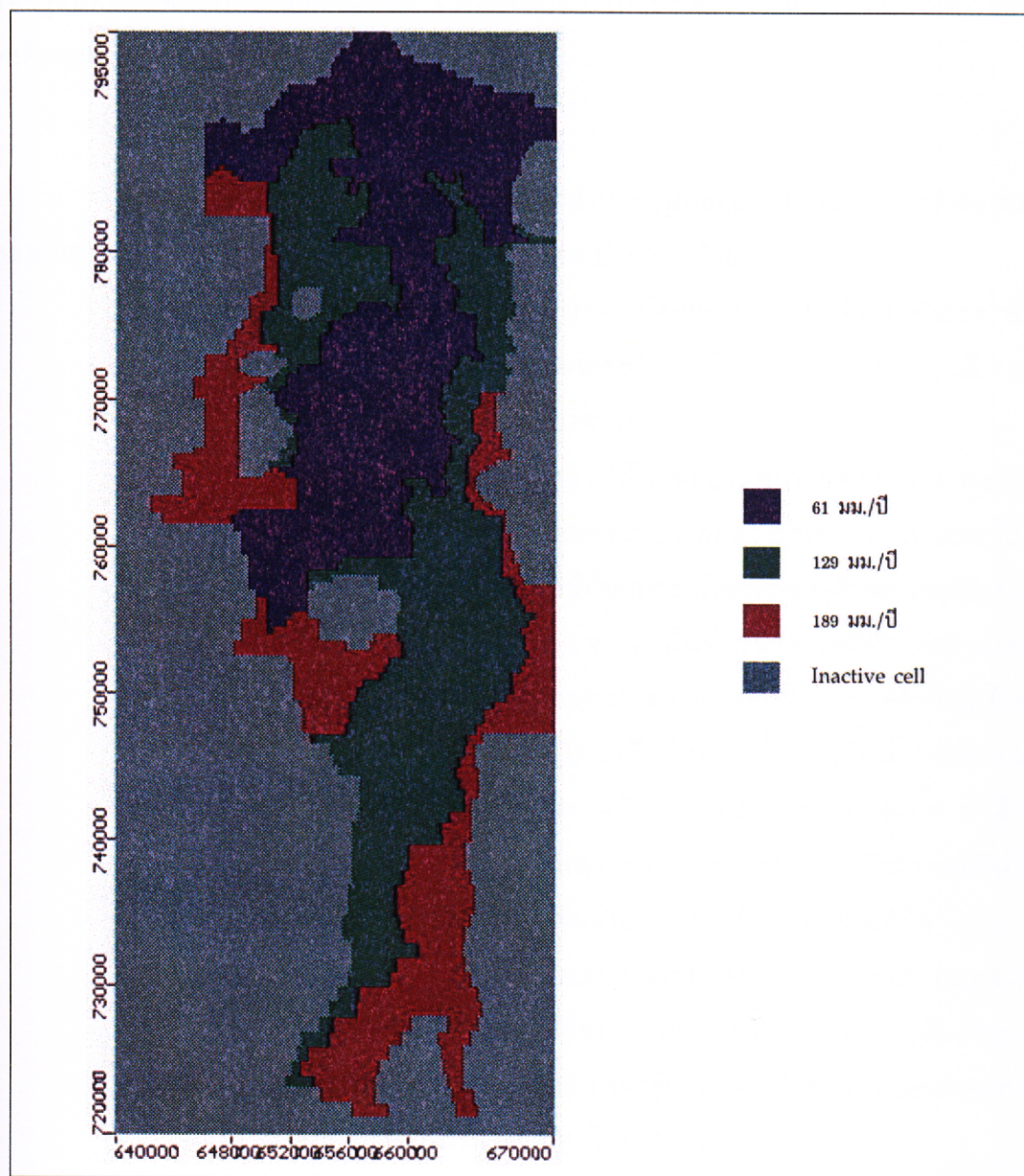
รูปที่ 4-8 แผนภาพแสดงขั้นตอนการจำลองการไอลดของน้ำภาคแอ่งหาดใหญ่

๙๑๓๔-๑ วัตถุที่แสดงถึงความคิดเห็นของผู้คนในอดีต

| กระบวนการจัดการ | วัสดุประมง | เงื่อนไขการจัดการ |
|------------------------------------|---|--|
| 1. กำหนดให้ระดับน้ำคงที่ | - จัดซองสภาพอากาศ ให้เหมาะสมกับการเพาะเลี้ยง ด้วยน้ำเพื่อศึกษาความเป็นไปได้ของแบบ จำลอง - เพื่อศึกษาถักขามและการ “ทดสอบแบบ การ” ให้ถูกต้อง | 1. ผู้อนุตรระดับแม่น้ำขนาดใหญ่ต้องแต่เมษายน พ.ศ. 2545 ถึงเมษายน พ.ศ. 2546, ระดับน้ำคงอยู่ใน ให้เข้มข้นและตื้นตามฤดูกาล พ.ศ. 2539 ถึงเมษายน พ.ศ. 2544 และปริมาณการผลิตน้ำใช้ชุมชนลดลงในช่วงปี พ.ศ. 2516 ถึง พ.ศ. 2545 2. ปรับค่าพารามิเตอร์ เพื่อให้คำนวณของน้ำยาตามต้องการสำเร็จ ให้ถูกต้อง เนื่องจากปริมาณของน้ำยาต้องตามที่ผู้อนุตรระบุไว้ ให้ถูกต้อง พ.ศ. 2545 ถึงเมษายน พ.ศ. 2546 จากนั้นจึงยกการ “37 บ่อ น้ำการสูบน้ำนาดา colloidal ของกรรูบบัน” เนื่องจาก การ “หันน้ำคลอก” (หัวรอกการสูบน้ำใช้ค่าน้ำที่ยกเว้นที่หัวรอก) ไม่สามารถดำเนินการได้ |
| 2. กำหนดให้ระดับน้ำเพื่อ ihm เมบอง | - จัดซองการ “ทดสอบน้ำยาศาสต์” ให้ถูกต้อง โดยเลือกแบบของระดับน้ำตามภูมิภาค - เพื่อปรับพารามิเตอร์ของกรรูบบันใน ช่วงที่ผู้อนุตรศึกษาถักขามระดับน้ำในระยะ ยาว (13 เดือน) | 1. เงื่อนไขการจัดการดังนี้กับการผู้ที่ 1 ให้ใช้ชุดทดสอบเพื่อตรวจดู 2. ระยะเวลาการจัดการอย่างต่อเนื่อง พ.ศ. 2545 ถึงเมษายน พ.ศ. 2546 3. ปรับปรุงพารามิเตอร์ของกรรูบบัน ให้แก่ การพัฒนาใหม่ ค่าต่ำส่วนประมาณ ให้สำหรับผู้ผลิต ของเขตภาคตะวันออกเฉียงเหนือจำกัด แต่ถ้าต้องปรับเปลี่ยน ก็ต้อง |
| 3. ประเมินศักยภาพการใช้น้ำยาศาสต์ | - เพื่อหารปริมาณการใช้น้ำที่ไม่ถูกต้องให้เกิดผล - กรณีที่มีการใช้น้ำยาที่ ผลกระทบต่องานน้ำยาศาสต์ และ 5 เท่าน้ำในช่วงเวลา 5 ปี | 1. เงื่อนไขการจัดการหนึ่งกับการผู้ที่ 2 ยกเว้นอัตราการสูบบัน ให้เพิ่ม อัตราการสูบบันเป็น 2, 3 และ 5 เท่า 2. ระยะเวลาการจัดการอย่างต่อเนื่อง พ.ศ. 2545 ถึงเมษายน พ.ศ. 2546 |

ตาราง 4-2 ปริมาณการเพิ่มเติมน้ำในการจำลองทางคณิตศาสตร์ ในการจำลองสภาวะคงที่

| ลักษณะพื้นที่ | ปริมาณการเติมน้ำ (มม./ปี) | ร้อยละของน้ำฝน |
|---------------------------|---------------------------|----------------|
| ดินมีค่าการซึมผ่านต่ำ | 61 | 4.0 |
| ดินมีค่าการซึมผ่านปานกลาง | 129 | 8.0 |
| ดินมีค่าการซึมผ่านเร็ว | 189 | 12.0 |



รูปที่ 4-9 แผนภาพแสดงอัตราการเพิ่มเติมน้ำสูทธิสูงแหล่งน้ำขนาด ในการจำลองสภาวะคงที่

ของภูมิประเทศ การประเมินอัตราการเพิ่มเติมน้ำสู่แหล่งน้ำURAL เมื่อนำข้อมูลทั้งหมดมาพิจารณาร่วมกัน และทำการปรับเทียบค่าพารามิเตอร์ในการจำลองจะได้พื้นที่เพิ่มเติมน้ำ 3 โซน ดังสรุปในตาราง 4-2 และรูปที่ 4-9

2) ขอบเขตที่มีระดับน้ำคงที่

ในการศึกษานี้ คือ ขอบเขตด้านหนึ่ง ซึ่งเป็นแนวทะเลสาบสูงคลา โดยจำลองให้อยู่ชั้นบนสุดของแบบจำลองในระยะ 3 กิโลเมตรจากแนวทะเลสาบ และกำหนดให้ค่าระดับน้ำคงที่ตลอดเวลา ที่ 0 m. (รถก.)

3) ขอบเขตที่มีน้ำไหลผ่าน

ในการศึกษานี้ คือ แนวเทือกเขาด้านตะวันออกและตะวันตก โดยจำลองตลอดความยาวของแบบจำลอง ข้อมูลที่นำเข้าสู่แบบจำลอง ประกอบด้วย

- ระดับน้ำ เป็นค่าระดับน้ำURALซึ่งอยู่ภายใต้พื้นที่แบบจำลอง ซึ่งได้จากข้อมูลระดับน้ำURALจากระดับผิวดิน (กรมทรัพยากรธรรมชาติ, 2544 ปัจจุบัน กรมทรัพยากรน้ำURAL)
- ค่าความนำของน้ำผ่านชั้นหินให้น้ำที่อยู่ระหว่างชั้นหินที่ทราบค่าระดับน้ำ ภายนอกแบบจำลองกับกริดของแบบจำลอง เป็นค่าความสามารถในการยอมให้น้ำซึมผ่านได้เร็วหรือช้าในแต่ละกริดเซลล์ของตัวกลางซึ่งเป็นชั้นหินให้น้ำที่น้ำไหลผ่าน คำนวณจาก (1) พื้นที่ผิวของกริดที่น้ำไหลผ่านได้จากขนาดความกว้างและความยาวของแต่ละกริดเซลล์ของแบบจำลอง (2) ค่าสัมประสิทธิ์การยอมให้น้ำซึมผ่านของชั้นหินให้น้ำที่น้ำจากภายนอกแบบจำลองไหลผ่าน เนื่องจากชั้นหินให้น้ำของเทือกเขาง่ั 2 ด้านมีลักษณะเป็นหินทราย หินทรายแม่น หินดินดาน จึงกำหนดให้มีค่าสัมประสิทธิ์การยอมให้น้ำซึมผ่านเท่ากับ $0.0864 \text{ เมตร}/\text{วัน}$ ($1 \times 10^6 \text{ เมตร}/\text{วินาที}$) และ (3) ระยะห่างระหว่างระดับน้ำภายนอกแบบจำลอง กับกริดของแบบจำลอง ได้จากแผนที่ดิจิตอลเดินเส้นแสดงระดับน้ำURAL จากระดับผิวดิน (กรมทรัพยากรธรรมชาติ, 2544 ปัจจุบัน กรมทรัพยากรน้ำURAL) วิธีการคำนวณแสดงไว้ในกรอบ 4-1

4) ข้อมูลแม่น้ำ

ข้อมูลที่นำเสนอเป็นแบบจำลอง ประกอบด้วย ระดับน้ำในล้าน้ำ ระดับท้องน้ำ ค่าความนำของน้ำผ่านตะกอนท้องน้ำ

- ระดับน้ำ เป็นค่าความสูงของน้ำในคลองรัตภูมิและคลองอู่ตะเภาจากระดับทะเลปานกลาง ได้จากการรวบรวมข้อมูลจากสถานีวัดน้ำของกรมชลประทาน
- ระดับท้องน้ำ เป็นค่าระดับความสูงของท้องน้ำปรិយนเทียบจากระดับทะเลปานกลาง ได้จากการตัดขวางของล้าน้ำที่จัดทำโดยกรมชลประทาน
- ค่าความนำของน้ำผ่านตะกอนท้องน้ำ เป็นค่าความสามารถในการยอมให้น้ำซึมผ่านได้เร็วหรือช้าในแต่ละกริดเซลล์ของตัวกลางซึ่งเป็นตะกอนท้องน้ำ คำนวณจาก (1) ค่าสัมประสิทธิ์การยอมให้น้ำซึมผ่านของตะกอนท้องน้ำ เนื่องจากตะกอนท้องน้ำของคลองอู่ตะเภาและคลองรัตภูมิ มีลักษณะเป็นตะกอนดินเหนียวปนทราย จึงกำหนดให้มีค่าสัมประสิทธิ์การยอมให้น้ำซึมผ่านเท่ากับ $0.0864 \text{ เมตร}/\text{วัน}$ ($1 \times 10^{-6} \text{ เมตร}/\text{วินาที}$) (2) ความกว้างของแม่น้ำ (3) ความยาวของแม่น้ำ และ (4) ความหนาของตะกอนท้องน้ำประเมินจากการพิจารณาลักษณะของล้าน้ำ วิธีการคำนวณแสดงไว้ในกรอบ 4-2

สำหรับข้อมูลแม่น้ำต่างๆ ในพื้นที่ศึกษา แสดงไว้ในตาราง 4-3

ตาราง 4-3 ข้อมูลแม่น้ำที่ใช้ในการจำลองทางคณิตศาสตร์

| แม่น้ำ | ระดับน้ำ (ม. รทก.) | ระดับท้องน้ำ (ม. รทก.) | ค่าสัมประสิทธิ์การยอมให้น้ำซึมผ่านของตะกอนท้องน้ำ (ม./วัน) | ความหนาของตะกอนท้องน้ำ (ม.) | ค่าความนำของน้ำผ่านตะกอนท้องน้ำ (ตร.ม./วัน) |
|--------------|-----------------------|---------------------------|---|--------------------------------|--|
| คลองอู่ตะเภา | 0.01 ถึง 46.64 | -3.90 ถึง 44.71 | 0.0864 | 0.50 | 943 ถึง 8,706 |
| คลองรัตภูมิ | 0.06 ถึง 13.85 | -0.05 ถึง 13.49 | 0.0864 | 0.50 | 538 ถึง 3,384 |

กรอบ 4-1 การคำนวณค่าความนำของน้ำผ่านชั้นหินให้น้ำ

$$C = \frac{(L_{GHB} \times W_{GHB}) \times K}{D}$$

| | | |
|-------|----------------------------|--|
| เมื่อ | C | = ค่าความนำของน้ำผ่านชั้นหินให้น้ำที่อยู่ระหว่างจุดที่ทราบค่าระดับน้ำ กางนออกแบบจำลองกับกริดของแบบจำลอง (ตารางเมตร/วัน) |
| | $(L_{GHB} \times W_{GHB})$ | = พื้นที่ผิวของกริดของแบบจำลองที่มีน้ำไหลผ่าน (ตารางเมตร) ได้จาก ความกว้าง (L_{GHB}) หน่วยเป็นเมตร คูณด้วย ความหนา (W_{GHB}) ของ กริดเซลล์ หน่วยเป็นเมตร |
| | K | = ค่าสัมประสิทธิ์การยอมให้น้ำซึมผ่านของชั้นหินให้น้ำที่นำจากกางนออก แบบจำลองไหลผ่าน (เมตร/วัน) |
| | D | = ระยะห่างระหว่างระดับน้ำกางนออกแบบจำลองกับกริดของแบบจำลอง (เมตร) |

กรอบ 4-2 การคำนวณค่าความนำของน้ำผ่านตะกอนท้องน้ำ

$$C = \frac{K \times L_{RIV} \times W_{RIV}}{M}$$

| | | |
|-------|-----------|--|
| เมื่อ | C | = ค่าความนำของน้ำผ่านตะกอนท้องน้ำ (ตารางเมตร/วัน) |
| | K | = ค่าสัมประสิทธิ์การยอมให้น้ำซึมผ่านของตะกอนท้องน้ำ (เมตร/วัน) |
| | L_{RIV} | = ความยาวของแม่น้ำ (เมตร) จากแผนที่ภูมิประเทศ 1 : 50,000 พ.ศ. 2533 |
| | W_{RIV} | = ความกว้างของแม่น้ำ (เมตร) |
| | M | = ความหนาของตะกอนท้องน้ำ (เมตร) |

5) คุณสมบัติของชั้นหินให้น้ำ

ข้อมูลหลุมเจาะของกรมทรัพยากร้ำน้ำบาดาล สามารถนำมาแจกแจงชั้นดินและชั้นหิน และลักษณะการวางตัวของชั้นหินให้น้ำเป็น ดินเหนียว กรวด กรวดปนทราย ทรายปนดินเหนียว และทราย ในพื้นที่ต่างๆ ของชั้นต่างๆ ดังรูปที่ 4-10 ค่าสัมประสิทธิ์การยอมให้น้ำซึมผ่านในแนวราบ (horizontal hydraulic conductivity, K_x) ที่นำเข้าแบบจำลองในตอนต้นจากการวิเคราะห์ค่า K ที่ได้จากการสูบทดสอบ ร่วมกับค่า K ทางทฤษฎี (Spitz and Moreno, 1996) จากนั้นทำการปรับเทียบแบบจำลอง โดยใช้ค่าระดับน้ำที่ได้จากการตรวจสอบจากสถานะ (ตาราง ค-14 ใน

ภาคผนวก ค) จะได้ค่า K_x , K_y และ K_z กำหนดให้อัตราส่วนระหว่างค่าสัมประสิทธิ์การยอมให้น้ำซึ่งผ่านในแนวตั้งต่อค่าสัมประสิทธิ์การยอมให้น้ำซึ่งผ่านในแนวราบ เท่ากับ 1:10 การกระจายตัวของค่าสัมประสิทธิ์การยอมให้น้ำซึ่งผ่านแสดงในรูปที่ 4-10

6) บ่อสังเกตการณ์

เลือกบ่อสังเกตการณ์จำนวน 37 บ่อ ดังแสดงในรูปที่ 4-11 (ก)

7) อัตราการใช้น้ำบาดาล

การใช้น้ำในพื้นที่ศึกษาได้ทำการประเมินดังที่ได้กล่าวไว้ในหัวข้อ 3.7 ในบทที่ 3 พื้นที่แบบจำลองทางคณิตศาสตร์ 1,608 ตารางกิโลเมตร มีอัตราการใช้น้ำประมาณ 45,350 ลูกบาศก์เมตรต่อวัน ดังแสดงในรูปที่ 4-11 (ข)

8) ระดับแรงดันน้ำเริ่มต้น (initial head)

ระดับน้ำเริ่มต้นที่ใช้ในการจำลองใช้ค่าระดับแรงดันน้ำเฉลี่ยที่ได้จากการวัดในภาคสนามตั้งแต่เมษายน พ.ศ. 2545 ถึงเมษายน พ.ศ. 2546

4.3.2 การจำลองที่มีการเปลี่ยนแปลงตามเวลา

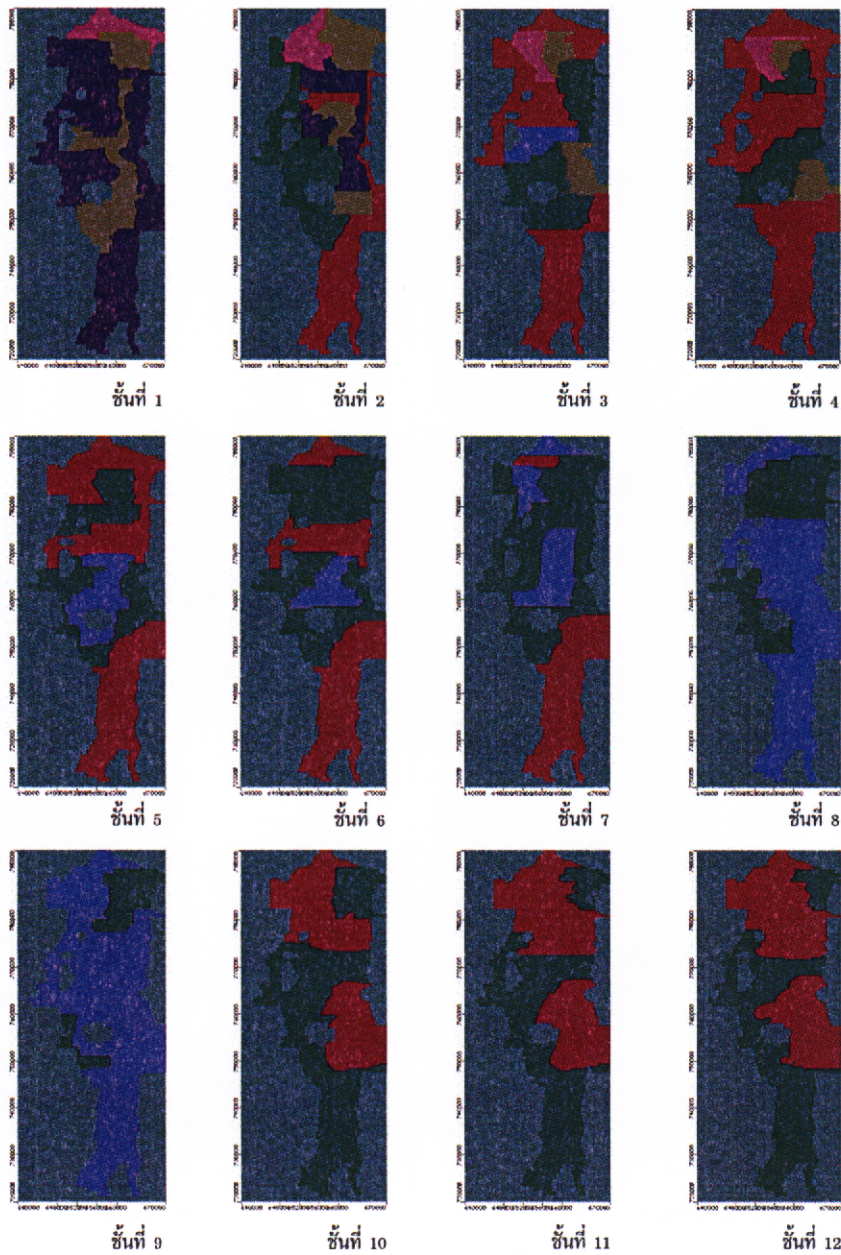
การจำลองการไหลแบบผันแปรตามเวลา สอดคล้องกับสภาพความเป็นจริงมากกว่าการจำลองการไหลแบบสภาพวงที่ ทั้งนี้เพื่อการจำลองตามต้นทุนน้ำที่ขึ้นอยู่กับฤดูกาล นอกจากนี้ยังสามารถใช้ค่าการณ์หรือจำลองการสูบน้ำเพื่อประเมินปริมาณน้ำบาดาลที่สามารถนำขึ้นมาใช้ได้ ในการศึกษานี้ได้กำหนดสภาพรอบเขตและคุณสมบัติทางชลศาสตร์ ดังนี้

1) ช่วงเวลาการจำลอง

การจำลองเริ่มตั้งแต่วันที่ 1 เมษายน พ.ศ. 2545 ถึง วันที่ 1 เมษายน พ.ศ. 2550

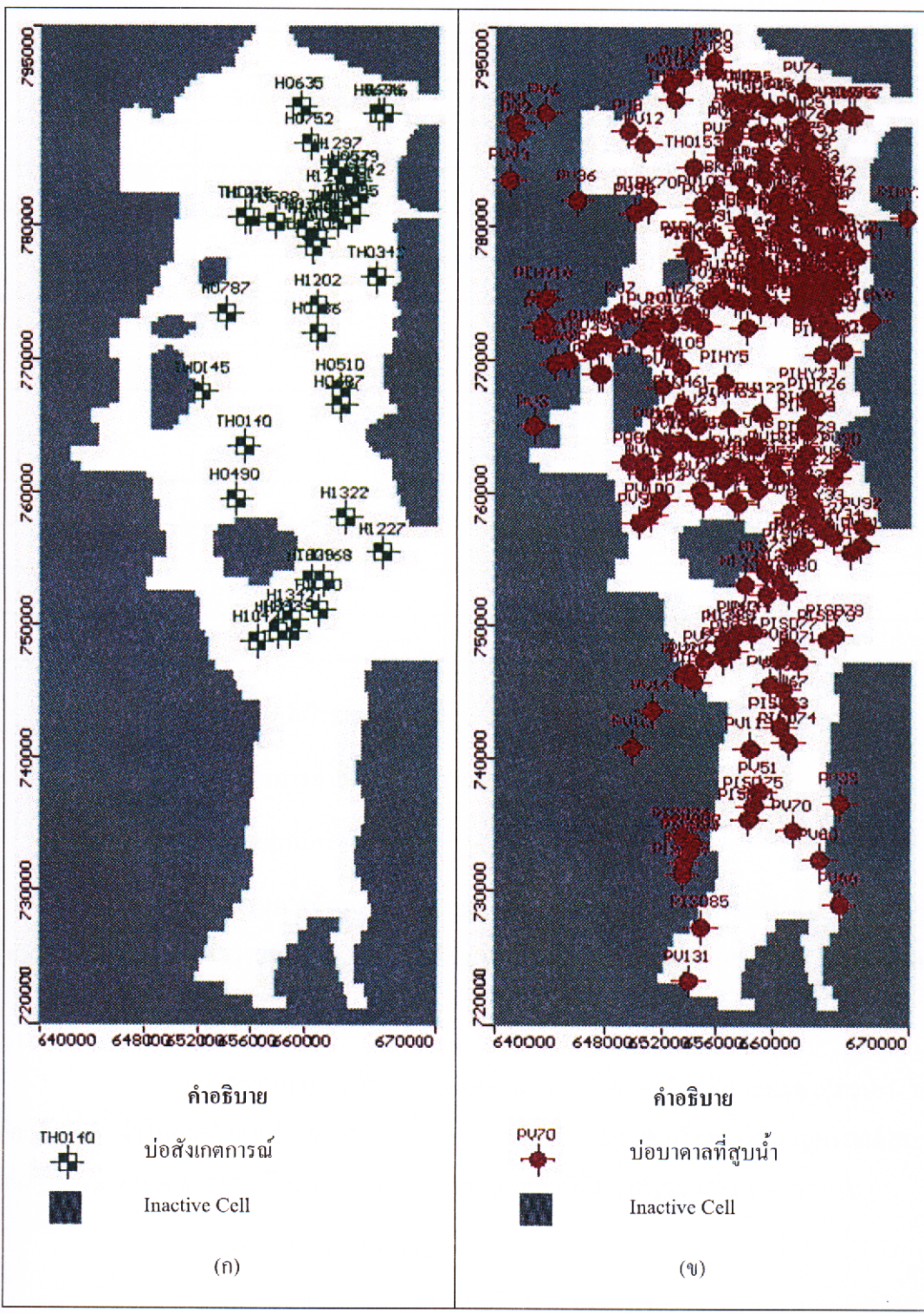
2) อัตราการเพิ่มเติมน้ำสู่แหล่งน้ำบาดาล

ขอบเขตการเพิ่มเติมน้ำจะแบ่งโซน 3 โซน เช่นเดียวกับในสภาพวงที่ แต่ได้แยกแจงอัตราการเพิ่มเติมน้ำให้อยู่ในช่วงที่ฝนตกชุก คือ เดือนตุลาคมถึงเดือนธันวาคม โดยขึ้นอยู่กับปริมาณน้ำฝน และอัตราการคายระเหยในช่วงเวลานั้น ปริมาณการเพิ่มเติมน้ำที่แยกแจงสำหรับนำเข้าแบบจำลองแสดงในตาราง 4-4



| ลำดับ | หมายเลข | ชั้นที่ n ในที่น้ำ | สัมประสิทธิ์การยอมไม่น้ำซึมผ่าน (m/s) | | |
|-------|---------|----------------------|---|---------|---------|
| | | | K_x | K_y | K_z |
| 1 | 2 | ดินเหนียว | 2.28e-6 | 2.28e-6 | 2.28e-7 |
| 2 | 3 | กรวด | 1.32e-3 | 1.32e-3 | 1.32e-4 |
| 3 | 5 | กรวดปนทราย | 7.68e-4 | 7.68e-4 | 7.68e-5 |
| 4 | 6 | ทรายปนดินเหนียว | 1.49e-5 | 1.49e-5 | 1.49e-6 |
| 5 | 7 | ทราย | 7.38e-4 | 7.38e-4 | 7.38e-5 |
| 6 | 10 | ดินเหนียว | 1.59e-7 | 1.59e-7 | 1.59e-7 |

รูปที่ 4-10 แผนภาพแสดงการกระจายตัวของชั้นหินให้น้ำเอ่งหาดใหญ่



รูปที่ 4-11 แผนภาพแสดงตำแหน่ง (ก) บ่อสังเกตการณ์ และ (ข) บ่อबादालที่มีการสูบน้ำ ในพื้นที่แบบจำลอง

ตาราง 4-4 ปริมาณการเพิ่มเติมน้ำในการจำลองที่มีการเปลี่ยนแปลงตามเวลา

| เดือน | ปริมาณการเพิ่มเติมน้ำ (มม./ปี) | | |
|-------|--------------------------------|---------------------------|------------------------|
| | คืนมีค่าการซึมผ่านค่า | คืนมีค่าการซึมผ่านปานกลาง | คืนมีค่าการซึมผ่านเร็ว |
| ม.ค. | 0 | 0 | 0 |
| ก.พ. | 0 | 0 | 0 |
| มี.ค. | 0 | 0 | 0 |
| เม.ย. | 0 | 0 | 0 |
| พ.ค. | 0 | 0 | 0 |
| มิ.ย. | 0 | 0 | 0 |
| ก.ค. | 0 | 0 | 0 |
| ส.ค. | 0 | 0 | 0 |
| ก.ย. | 0 | 0 | 0 |
| ต.ค. | 45 | 71 | 80 |
| พ.ย. | 115 | 178 | 201 |
| ธ.ค. | 85 | 131 | 148 |

2) ขอบเขตที่มีระดับน้ำคงที่

เหมือนการจำลองในสภาพวงที่

3) ขอบเขตที่มีน้ำไหลผ่าน

เหมือนการจำลองในสภาพวงที่ แต่ค่าระดับน้ำใช้ค่าระดับน้ำรายเดือน จากข้อมูลระดับน้ำบาดาลจากระดับผิวดิน (กรมทรัพยากรธรรมชาติ, 2544 ปัจจุบัน กรมทรัพยากรน้ำบาดาล)

4) ข้อมูลแม่น้ำ

ค่าความนำของน้ำผ่านตะกอนห้องน้ำของคลองรัตภูมิและคลองอู่ตะเภา ใช้ค่าเดียวกับที่นำเข้าในการจำลองในสภาพวงที่ แต่ระดับน้ำและระดับห้องน้ำใช้ข้อมูลรายเดือน ตั้งแต่เดือนเมษายน พ.ศ. 2539 ถึงเมษายน พ.ศ. 2545 จากสถานีวัดน้ำท่าของกรมชลประทาน

5) คุณสมบัติทางชลศาสตร์

ค่าสัมประสิทธิ์การยอมให้น้ำซึมผ่าน ใช้ค่าที่ได้จากการปรับเทียบแบบจำลองในสภาพวงที่ (ค่าเดียวกันกับที่ได้ในรูปที่ 4-10) ส่วนค่าสัมประสิทธิ์การกักเก็บจำเพาะ (S_g) ใช้ข้อมูลจากการสูบทดสอบ และช่วงค่าที่เป็นไปได้ของชั้นทินให้น้ำชนิดเดียวกันจากที่มีในรายงานการ

ศึกษา (Spitz and Moreno, 1996) ช่วงค่าสัมประสิทธิ์การกักเก็บจำเพาะในการจำลองสภาวะที่มีการเปลี่ยนแปลงตามเวลา หลังจากการปรับเทียบแบบจำลองแสดงไว้ในตาราง 4-5

ตาราง 4-5 ค่าพารามิเตอร์ที่ได้จากการจำลองการไหลของน้ำบาดาลหลังจากมีการปรับเทียบค่า

| Lithology | Kx (m/s) | Ky (m/s) | Kz (m/s) | Ss (l/m) | Sy | Eff. Por. | Tot. Por. |
|----------------------|-------------|-------------|-------------|-------------|------|-----------|-----------|
| ดินเหนียว (ชั้นบน) | 2.28e-6 | 2.28e-6 | 2.28e-7 | 2.00e-3 | 0.03 | 0.05 | 0.25 |
| กรวด | 1.32e-3 | 1.32e-3 | 1.32e-4 | 1.00e-4 | 0.10 | 0.24 | 0.32 |
| กรวดปนทราย | 7.68e-4 | 7.68e-4 | 7.68e-5 | 1.50e-3 | 0.25 | 0.21 | 0.25 |
| ทรายปนดินเหนียว | 1.49e-5 | 1.49e-5 | 1.49e-6 | 1.50e-3 | 0.03 | 0.10 | 0.25 |
| ทราย | 7.38e-4 | 7.38e-4 | 7.38e-5 | 2.50e-3 | 0.16 | 0.25 | 0.31 |
| ดินเหนียว (ชั้นล่าง) | 1.59e-7 | 1.59e-7 | 1.59e-7 | 2.00e-3 | 0.03 | 0.05 | 0.25 |

Kx , Ky และ Kz = ค่าสัมประสิทธิ์การซึมผ่านของชั้นหินให้น้ำ ในแนวแกน x, y และ z (แนวตั้ง)

Ss = ค่าสัมประสิทธิ์การกักเก็บจำเพาะ

Sy = ค่าสัมประสิทธิ์การกักเก็บของชั้นหินให้น้ำไว้แรงดัน

Eff. Por = Effective Porosity

Tot. Por = Total Porosity

6) ป้องกันการซึม

เหมือนการจำลองในสภาวะคงที่

7) อัตราการใช้น้ำบาดาล

ป้องกันการสูบน้ำเป็นป้องกันเดียวกับแบบจำลองในสภาวะคงที่ โดยมีปริมาณการใช้น้ำคงที่ในแต่ละช่วงเวลาเท่ากับ 45,350 ลูกบาศก์เมตรต่อวัน

8) ระดับน้ำเริ่มต้น

ระดับน้ำเริ่มต้นเป็นข้อมูลที่จำเป็นในการจำลองในสภาวะที่มีการเปลี่ยนแปลงตามเวลา เพื่อคุณภาพการเปลี่ยนแปลงที่เกิดขึ้นเมื่อเริ่มทำการจำลอง ระดับน้ำเริ่มต้นที่ใช้ในการจำลองใช้ค่าที่ได้จากการจำลองสภาวะคงที่

4.4 ผลการจำลองและการอภิปรายผล

ในการจำลองทั้ง 2 กรณี ได้ทำการปรับเทียบพารามิเตอร์กับข้อมูลที่ทำการติดตามตรวจระดับน้ำจากบ่อสังเกตการณ์จำนวน 37 บ่อ กระบวนการอบคลุมพื้นที่ที่ทำการจำลอง โดยปรับเทียบค่าพารามิเตอร์ให้ผลการจำลองที่ได้มีความคลาดเคลื่อนเฉลี่ยน้อยที่สุด

4.4.1 การจำลองสภาวะคงที่

ในการจำลองแบบสภาวะคงที่ได้มีการปรับค่าพารามิเตอร์ที่นำเข้าแบบจำลอง จนค่าระดับน้ำที่ได้จากการคำนวณของแบบจำลองและค่าระดับน้ำที่วัดจากสถานีมีความสอดคล้องกัน และอยู่ในช่วงที่ยอมรับได้ ใน การปรับเทียบครั้งนี้ได้ใช้ข้อมูลระดับน้ำเฉลี่ยในเดือนเมษายน พ.ศ. 2545 ถึง เดือนเมษายน พ.ศ. 2546 ได้ทำการปรับเปลี่ยนพารามิเตอร์ ซึ่งได้แก่ สัมประสิทธิ์การยอมให้น้ำซึ่งผ่าน อัตราการเพิ่มเติมน้ำ ให้อยู่ในช่วงค่าที่เหมาะสมของพารามิเตอร์นั้นๆ โดยปรับพารามิเตอร์ที่ลงทะเบียนให้เพิ่มขึ้นหรือลดลง จากค่าที่ประมาณไว้ในเบื้องต้น จนระดับน้ำคาดคะذที่วัดในสถานีและจากการคำนวณมีค่าใกล้เคียงกันมากที่สุด

ในการศึกษารั้งนี้ ได้ตั้งเกณฑ์ความแตกต่างของระดับน้ำ ในรูปของค่าเฉลี่ยรากที่สองของความคลาดเคลื่อน (Root Mean Square, RMS) ไว้ที่ 3 เมตร ถ้าระดับน้ำที่วัดในสถานีและจากการคำนวณมีค่าแตกต่างกันอยู่ในช่วงไม่เกิน 3 เมตร ถือได้ว่าผลการจำลองนั้นอยู่ในช่วงที่ยอมรับได้ ความแตกต่างของระดับน้ำที่วัดในสถานีและการคำนวณ ได้จัดแสดงในรูปที่ 4-12 และตาราง 4-6

แบบจำลองที่ปรับเทียบค่าແລ້ວมีค่าความคลาดเคลื่อนของค่าที่วัดในสถานีและการคำนวณแบบจำลอง ดังนี้

| | | | |
|--------------------------------|---|------|----|
| Mean error | = | 1.55 | m. |
| Mean absolute | = | 1.88 | m. |
| Standard error of the estimate | = | 0.24 | m. |
| Root mean squared | = | 2.13 | m. |
| Normalized RMS | = | 9.80 | % |

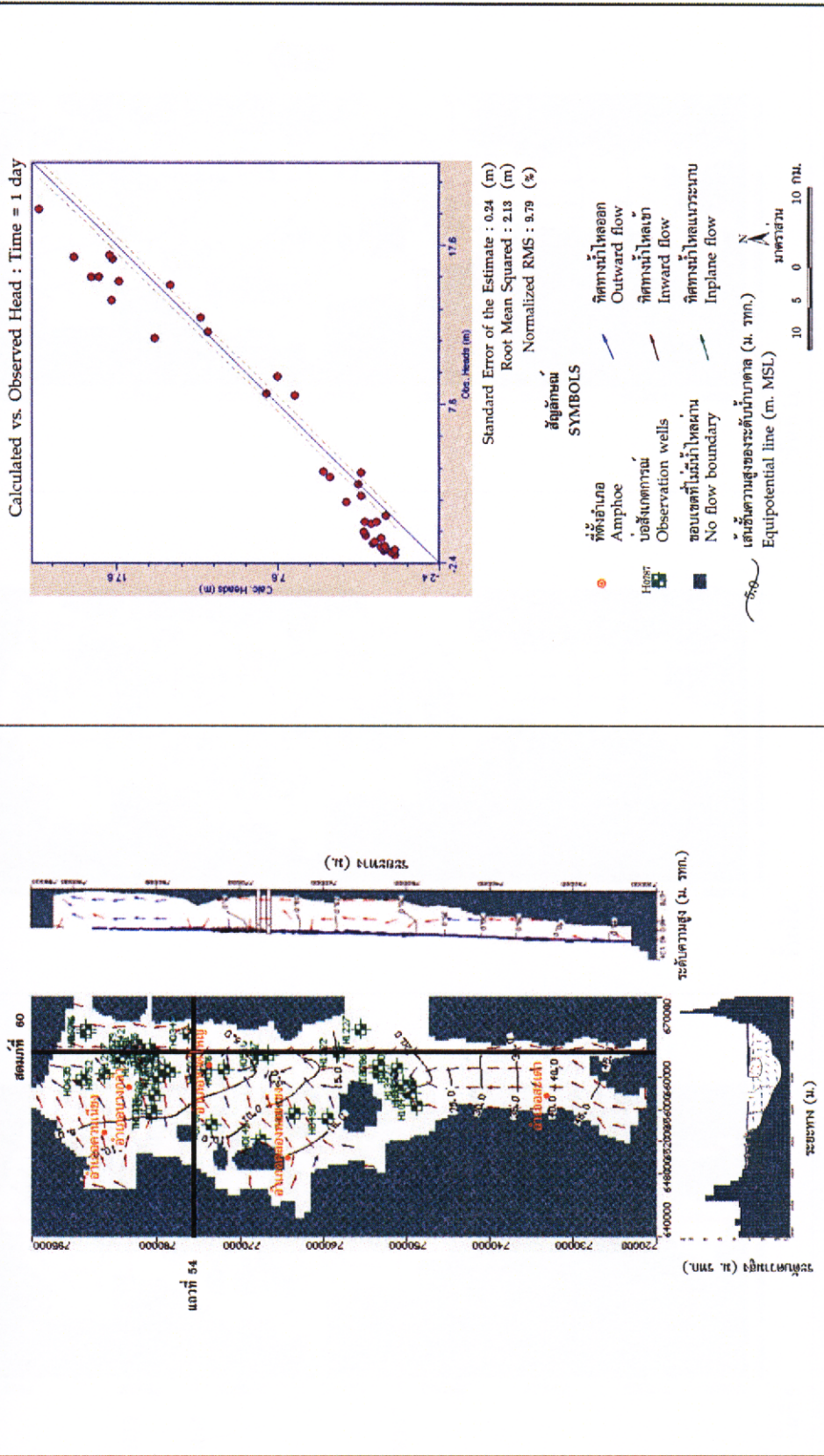
ผลการจำลองแบบสภาวะคงที่ พบว่าค่าเฉลี่ยรากที่สอง (RMS) จากการปรับเทียบค่าพารามิเตอร์ของแบบจำลองในสภาวะคงที่มีค่าเท่ากับ 2.13 เมตร ซึ่งเป็นค่าที่ยอมรับได้ และมีพิเศษทางการให้ลดลงน้ำคาดคะذจากขอบพื้นที่ทางทิศตะวันออก ทิศตะวันตก และทิศใต้ ซึ่งเป็นพื้นที่เพิ่มเติมน้ำ น้ำซึ่งที่รับลุ่มตอนกลางของพื้นที่แบบจำลอง และไหลเข้าในพื้นที่สูญเสียน้ำริเวณอำเภอ

หาดใหญ่ น้ำบาดาลบางส่วนในลักษณะสูกคล่องอุ้ตตะเกา ส่วนที่เหลือในลต่อไปยังทิศเหนือ ออกสู่ทะเลสาบสงขลา รูปที่ 4-13, 4-14 และ 4-15 แสดงทิศทางการไหลในแนวระนาบ, ภาพการไหลตามแนวเหนือ-ใต้ และภาพการไหลตามแนวตะวันออก-ตะวันตก ตามลำดับ ซึ่งสอดคล้องกับแบบจำลองเชิงโนทัศน์ และกรมทรัพยากรน้ำบาดาล (2546)

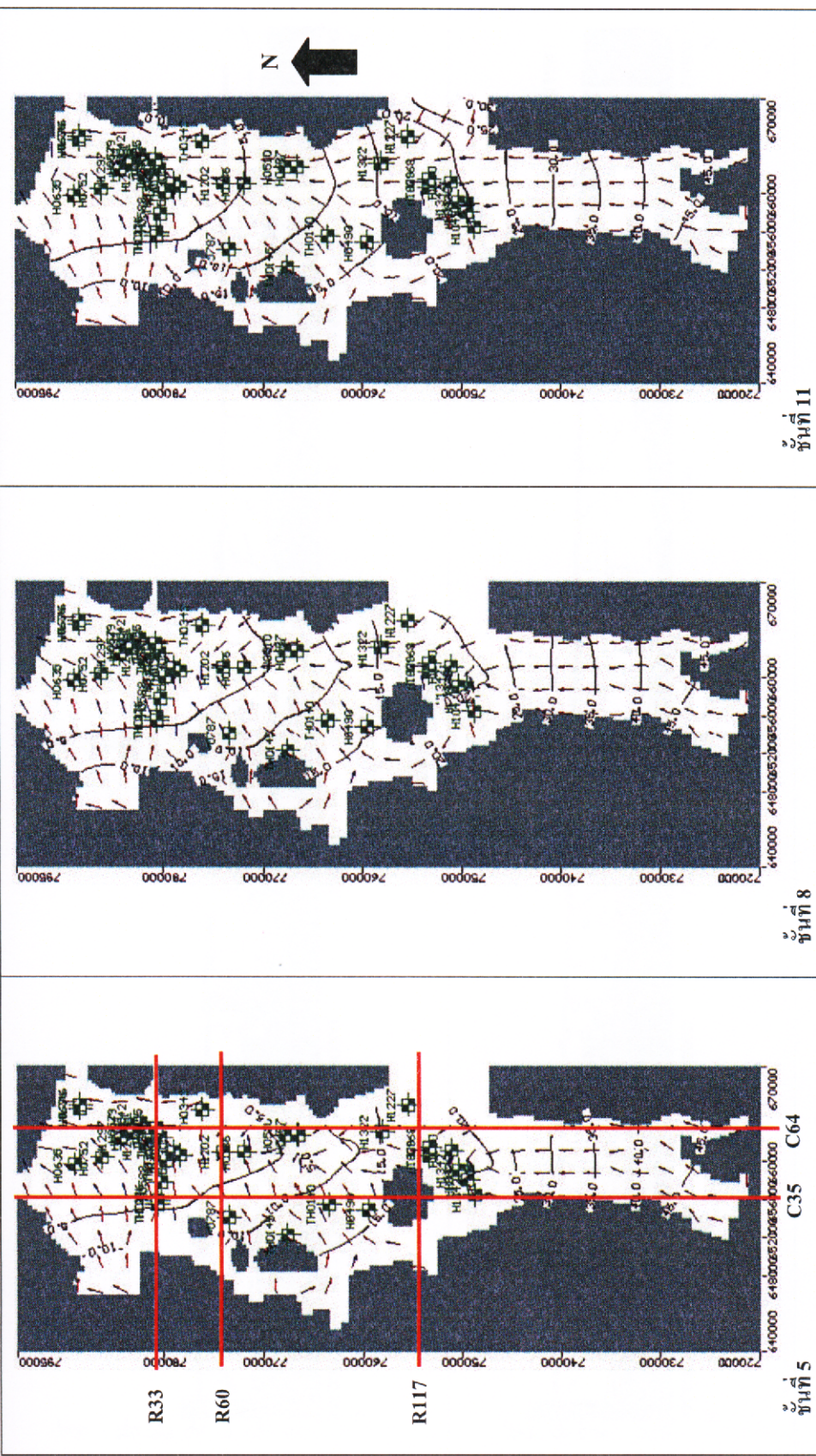
ตาราง 4-6 เปรียบเทียบค่าระดับน้ำจากการคำนวณ และจากบ่อสังเกตการณ์เป็นรายบ่อ และแสดงค่าความคลาดเคลื่อนที่เกิดขึ้นระหว่างการวัดในภาคสนามกับการจำลอง จากตาราง 4-6 พบว่าระดับน้ำที่ได้จากการคำนวณกับค่าที่วัดได้จริงจากบ่อสังเกตการณ์ส่วนใหญ่มีค่าความคลาดเคลื่อนไม่เกิน 3 เมตร โดยบ่อสังเกตการณ์ H0787 (ชั้นที่ 10) มีความสอดคล้องกับค่าจากการวัดจริงมากที่สุด ส่วนบ่อที่มีค่าความคลาดเคลื่อนมากที่สุด คือ บ่อ TH0168 (ชั้นที่ 5) คลาดเคลื่อน 3.79 เมตร

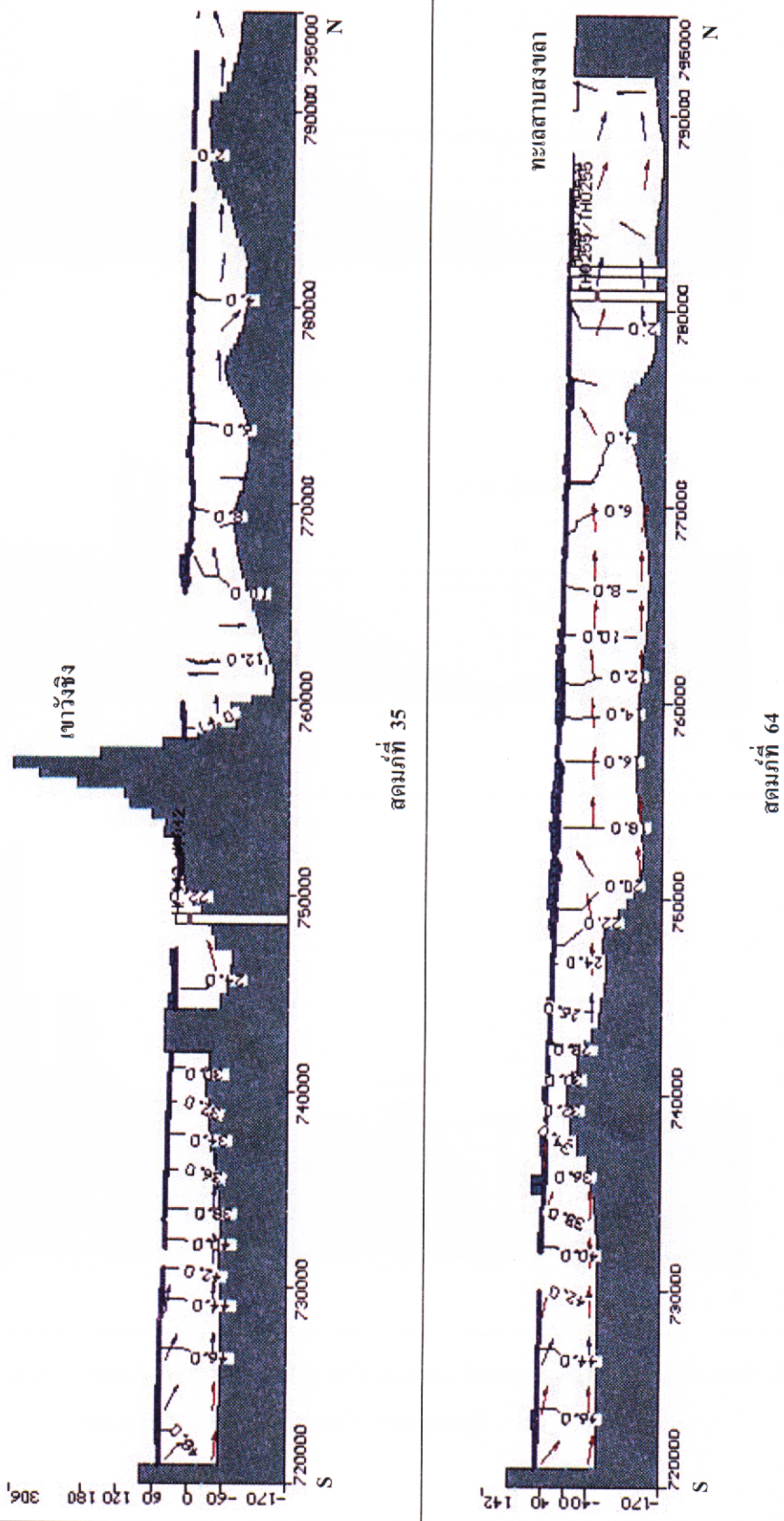
บ่อสังเกตการณ์ที่มีค่าความคลาดเคลื่อนเกิน 3 เมตร คือ กลุ่มนบ่อสังเกตการณ์ที่อยู่ทางด้านทิศใต้ของแบบจำลอง คือ บ่อ H0439, H1322, TH0168, H1387 และ H1342 ทั้ง 5 บ่อนี้อยู่ในพื้นที่ใกล้เคียงกัน และระดับน้ำที่ได้จากการคำนวณมีค่าสูงกว่าค่าที่วัดได้จริงจากบ่อสังเกตการณ์ ทั้งนี้ความคลาดเคลื่อนอาจเกิดจากความคลาดเคลื่อนของข้อมูลระดับความสูงของผู้วัดนิเทียบระดับทะเลปานกลางที่จำกัด ซึ่งในการศึกษาครั้งนี้ไม่ได้ทำการสำรวจระดับปากบ่องน้ำบาดาลใหม่ แต่ใช้การประเมินค่าในช่วง (interpolate) ข้อมูลเด่นชั้นความสูง ช่วงชั้นละ 20 เมตร ของกรมแผนที่ทหาร โดยวิธี krigging ด้วยโปรแกรม SURFER ค่าระดับปากบ่องน้ำบาดาลที่นำมาใช้ในการกำหนดชนิดชั้นหินให้น้ำในแต่ละกริดเซลล์จึงอาจมีความผิดพลาด ซึ่งส่งผลให้การกำหนดชนิดชั้นหินให้น้ำในแต่ละกริดเซลล์แตกต่างไปจากสภาพจริงในธรรมชาติได้ ดังนั้นค่าสัมประสิทธิ์การยอมให้น้ำซึ่งผ่านของชนิดชั้นหินให้น้ำที่ใส่ในแบบจำลองผิดพลาดไป ซึ่งในกรณีนี้ค่าสูงกว่าค่าจริง จึงทำให้น้ำไหลได้เร็วกว่าความเป็นจริง ค่าระดับน้ำที่ได้จากการคำนวณจึงมีค่าสูงกว่าค่าที่วัดได้จริงจากสนาม นอกจากนี้พื้นที่ศึกษามีบ่อสังเกตการณ์น้อย ซึ่งเป็นข้อจำกัดอีกข้อหนึ่ง

สมดุลของน้ำบาดาลของแบบจำลองในสภาวะคงที่ ได้แสดงไว้ในตาราง 4-7 จากข้อมูลสมดุลของน้ำพบว่า น้ำที่ไหลเข้าสู่แบบจำลองมาจาก การเพิ่มเติมน้ำสุทธิจากน้ำฝน น้ำจากชั้นหินให้น้ำของน้ำบาดาลในพื้นที่ (เทือกเขาด้านตะวันออก-ตะวันตก) และการไหลซึมของน้ำจากคลองรัตภูมิและคลองอุ้ตตะเกา ส่วนน้ำที่ไหลออกจากแบบจำลองไหลออกไปสู่คลองรัตภูมิ และคลองอุ้ตตะเกา บ่อน้ำที่มีการสูบน้ำทะเลสาบสงขลา และชั้นหินให้น้ำของน้ำบาดาลในพื้นที่ ตามลำดับ

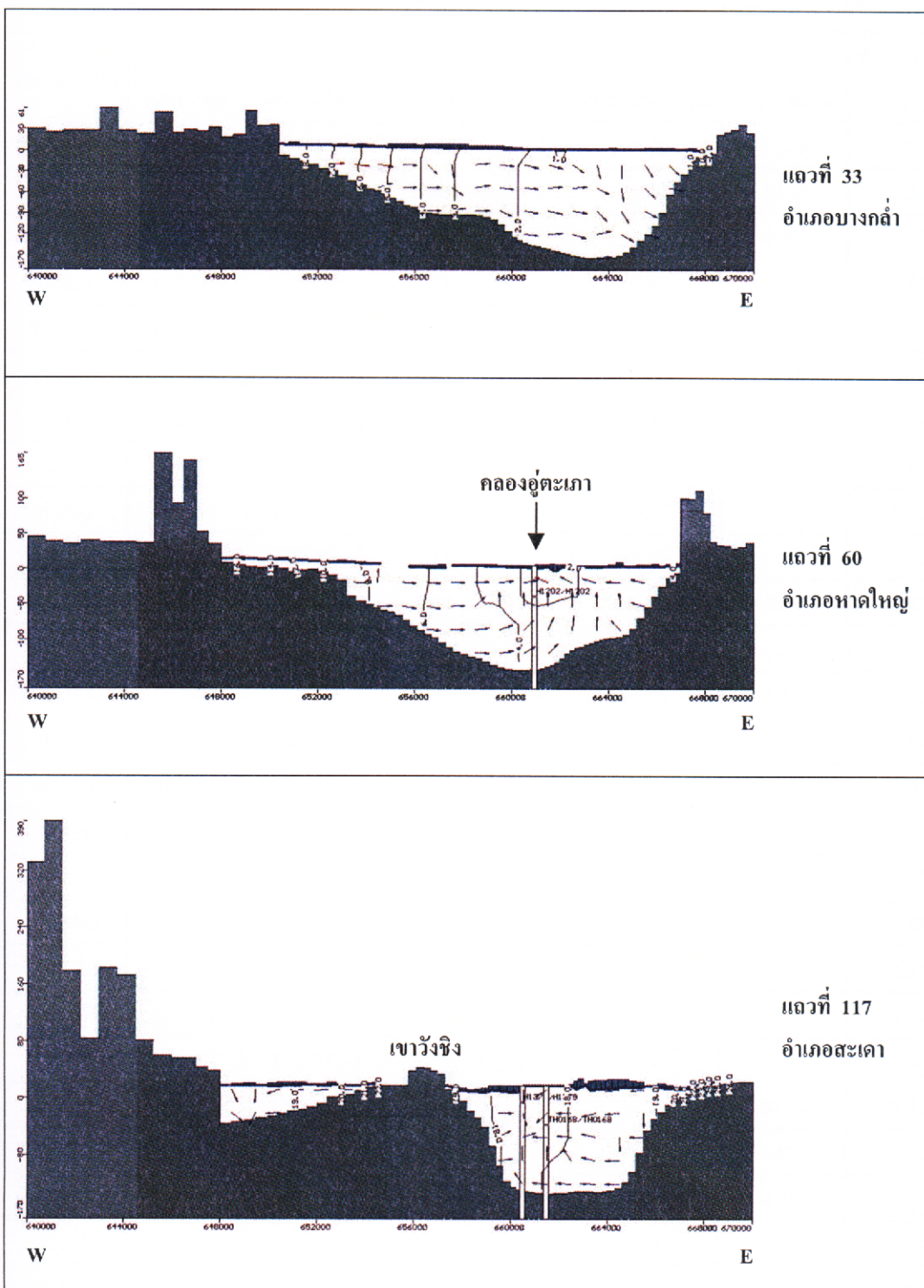


รูปที่ 4-13 แผนภาพแสดงผลการจำลองสำหรับระดับแม่ดินและทิศทางการไหลในแนวระนาบของแนวราดในสภาวะคงที่





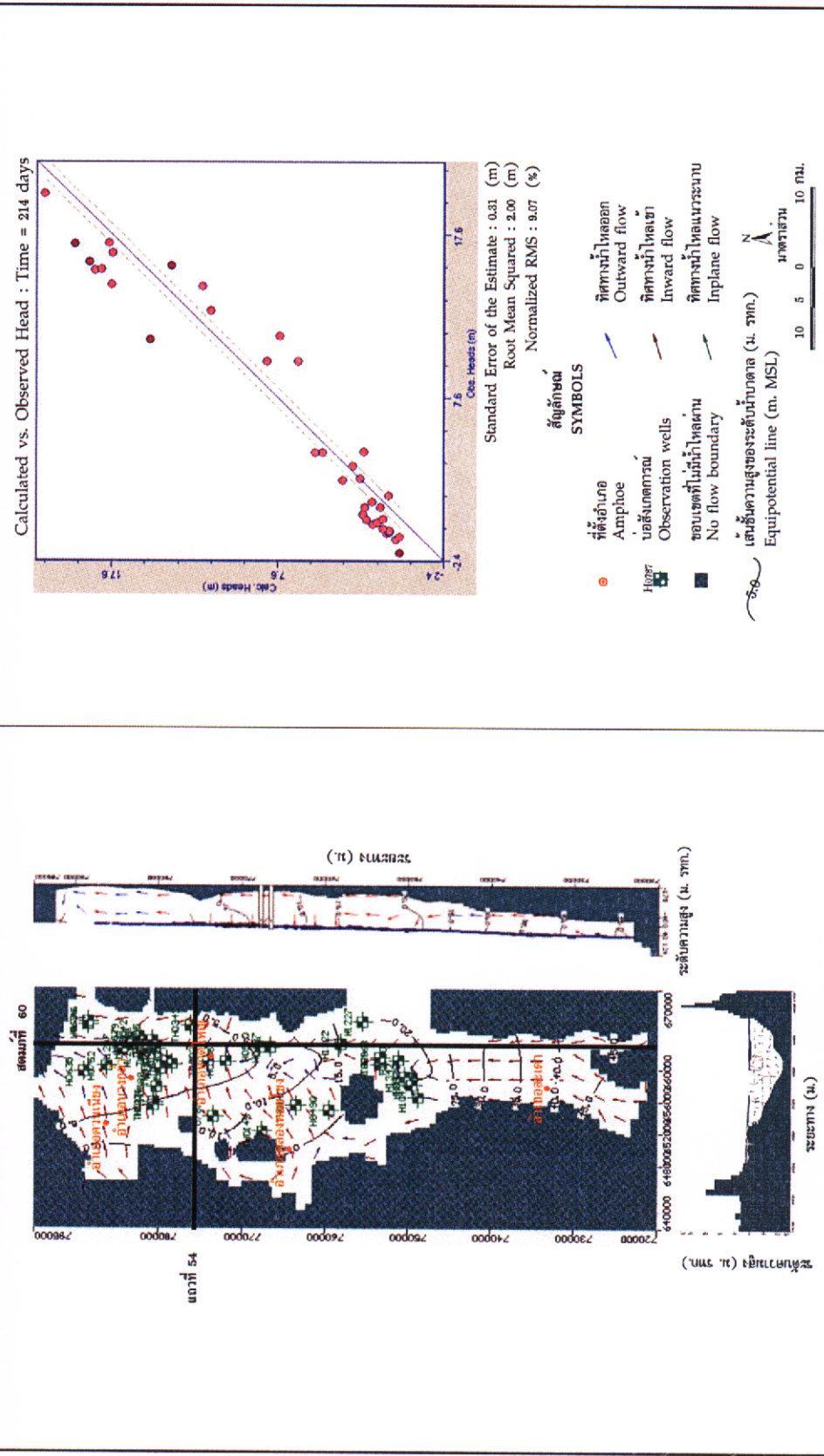
รูปที่ 4-14 แผนกा�ฟและดังภาพตัดตามทางในแนววิถีทางเดิน-จุดของศูนย์รวมดัชนีแม่เหล็กฟิล์ฟท์ทางการไฟฟ้าของหน้าผาคาดว่าจะมี



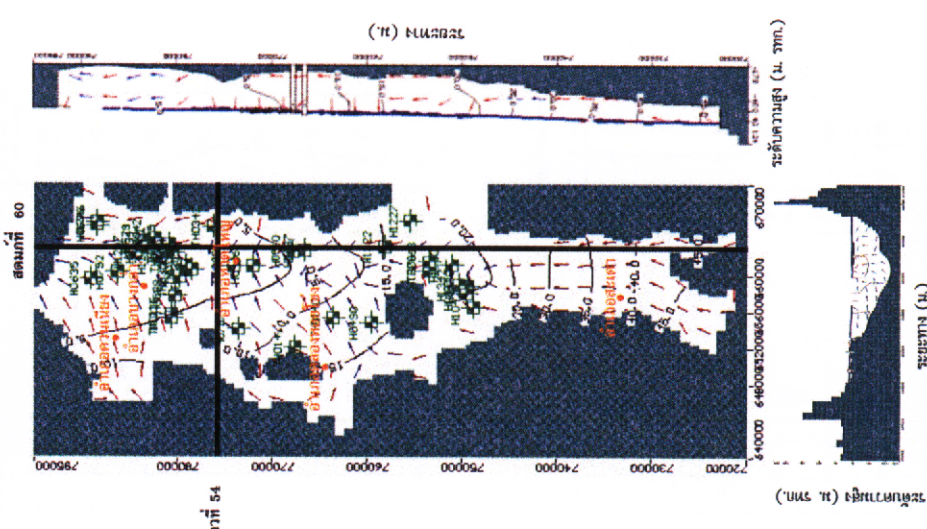
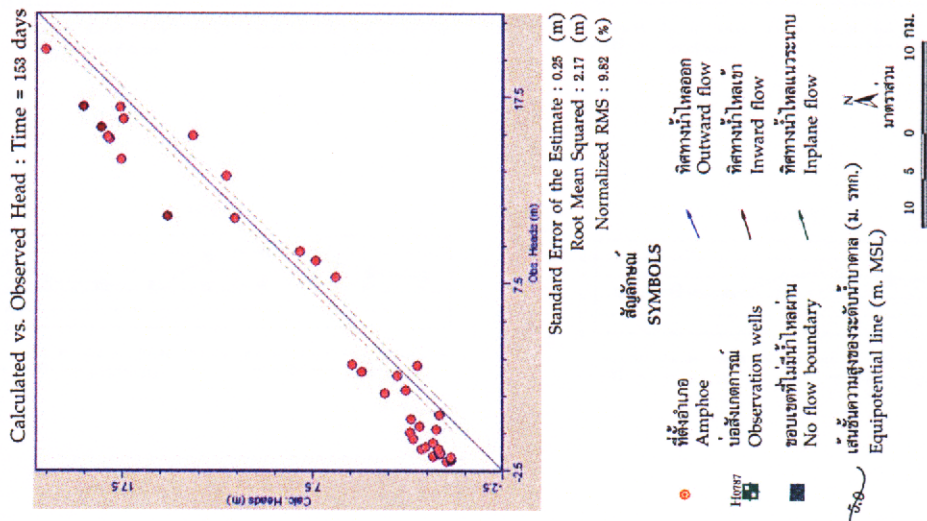
รูปที่ 4-15 แผนภาพแสดงภาพตัดขวางในแนวตะวันออก-ตะวันตกของเส้นระดับแรงดันและทิศทางการไหลของน้ำบาดาลในสภาวะคงที่

ตาราง 4-6 ค่าระดับน้ำบ่อสังเกตการณ์ 37 ปี หลังปรับเทียบแบบจำลองในสภาวะคงที่

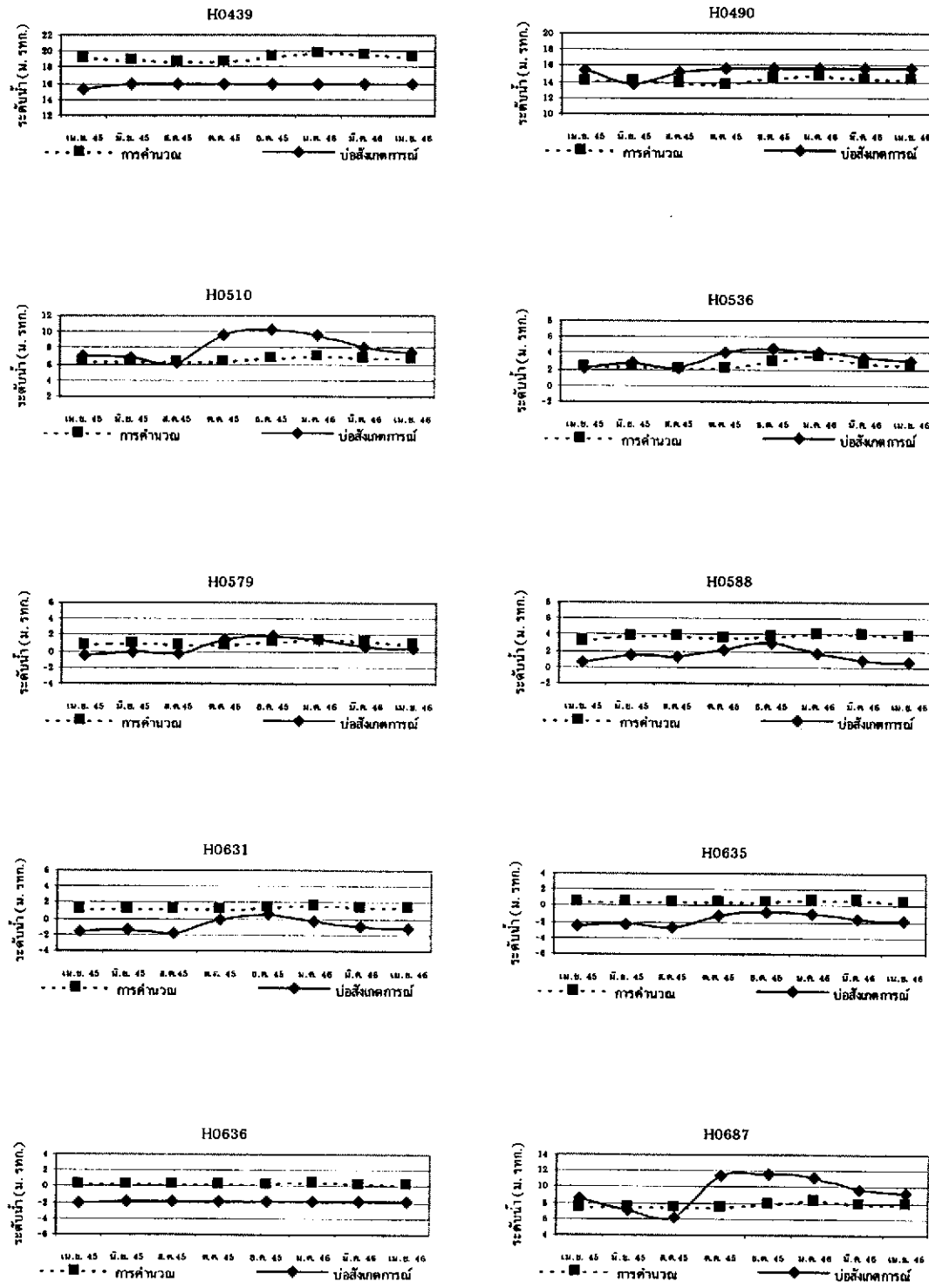
| หมายเลขบ่อ | พิกัด | | ค่าระดับปากบ่อ ^(ม.รทก.) | ชั้นที่ | ระดับน้ำ ^(ม.รทก.) | | คลาดเคลื่อน ^(ม.) |
|------------|----------|-------------|------------------------------------|---------|------------------------------|----------|-----------------------------|
| | ออก - ตก | เหนือ - ใต้ | | | บ่อสังเกตการณ์ | การคำนวณ | |
| TH0140 | 655401 | 763437 | 14.97 | 2 | 13.00 | 12.35 | -0.65 |
| H0439 | 658895 | 749442 | 20.00 | 2 | 15.57 | 19.13 | 3.56 |
| H1294 | 663005 | 783084 | 1.62 | 3 | -1.65 | 0.97 | 2.62 |
| H0631 | 663425 | 782079 | 2.71 | 3 | -0.84 | 1.17 | 2.01 |
| TH0039 | 662532 | 780438 | 4.75 | 3 | 0.09 | 1.80 | 1.71 |
| H0536 | 661006 | 771933 | 6.08 | 3 | 3.29 | 2.38 | -0.91 |
| H1322 | 663101 | 758086 | 16.01 | 3 | 11.69 | 15.18 | 3.49 |
| H1379 | 660474 | 753351 | 20.00 | 3 | 16.73 | 17.82 | 1.09 |
| H1042 | 656498 | 748810 | 21.38 | 3 | 19.82 | 22.32 | 2.50 |
| H0636 | 665579 | 788350 | 1.14 | 4 | -1.95 | 0.27 | 2.22 |
| H1246 | 665887 | 788370 | 0.92 | 4 | -1.60 | 0.27 | 1.87 |
| H0579 | 663779 | 783402 | 3.39 | 4 | 0.58 | 0.88 | 0.30 |
| H1291 | 661914 | 781877 | 1.85 | 4 | -1.06 | 1.52 | 2.58 |
| H0588 | 657744 | 780222 | 6.20 | 4 | 1.45 | 3.29 | 1.84 |
| H1176 | 660545 | 779525 | 3.64 | 4 | 0.20 | 2.19 | 1.99 |
| H0490 | 654894 | 759502 | 18.16 | 4 | 15.05 | 14.21 | -0.84 |
| H1297 | 662510 | 784363 | 1.59 | 5 | -1.53 | 0.86 | 2.39 |
| TH0042 | 663997 | 782341 | 3.02 | 5 | -1.42 | 1.16 | 2.58 |
| TH0255 | 663456 | 780783 | 3.09 | 5 | -1.16 | 1.68 | 2.84 |
| TH0168 | 661481 | 753354 | 19.76 | 5 | 14.08 | 17.87 | 3.79 |
| H1390 | 661107 | 751071 | 20.90 | 5 | 16.93 | 17.99 | 1.06 |
| H1387 | 658047 | 749528 | 20.00 | 5 | 16.82 | 20.19 | 3.37 |
| H0752 | 660349 | 786243 | 1.32 | 6 | -1.33 | 0.91 | 2.24 |
| H1226 | 655841 | 780632 | 7.33 | 6 | 3.04 | 4.32 | 1.28 |
| TH0342 | 665391 | 776054 | 4.51 | 6 | 2.54 | 2.56 | 0.02 |
| H1202 | 660968 | 774022 | 7.54 | 6 | 0.16 | 1.44 | 1.28 |
| H0510 | 662710 | 767777 | 11.17 | 6 | 8.13 | 6.49 | -1.64 |
| TH0145 | 652194 | 767467 | 19.53 | 6 | 12.14 | 11.87 | -0.27 |
| H0687 | 662753 | 766517 | 14.42 | 6 | 9.35 | 7.57 | -1.78 |
| H0635 | 659697 | 788924 | 1.28 | 7 | -1.78 | 0.55 | 2.33 |



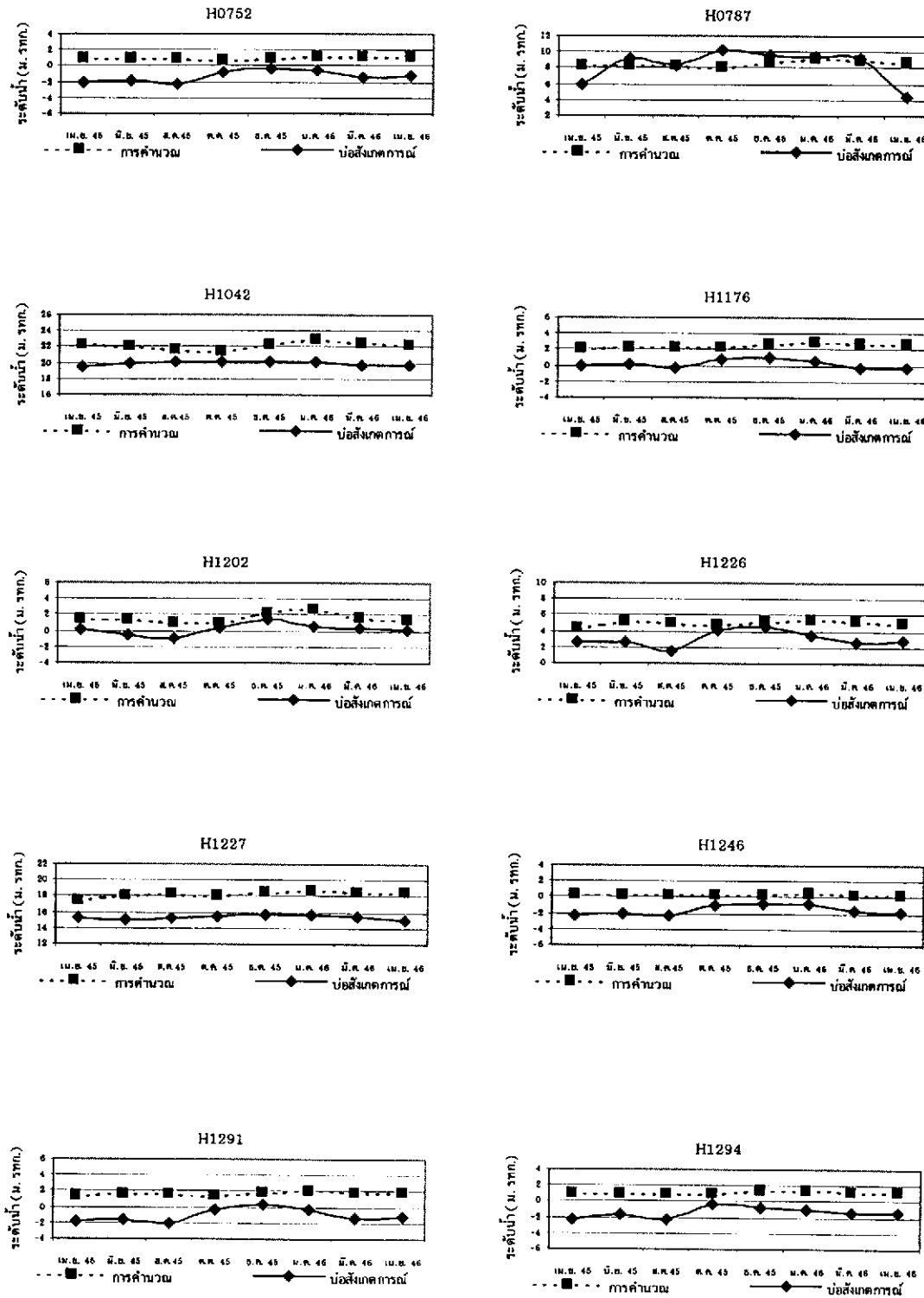
รูปที่ 4-16 เมธอดภาพแสดงผลการจำลองการไหลของน้ำบาดาลในสภาวะที่มีการเปลี่ยนแปลงตามเวลา ที่ระยะเวลา 8 เดือน (พศ 2545)



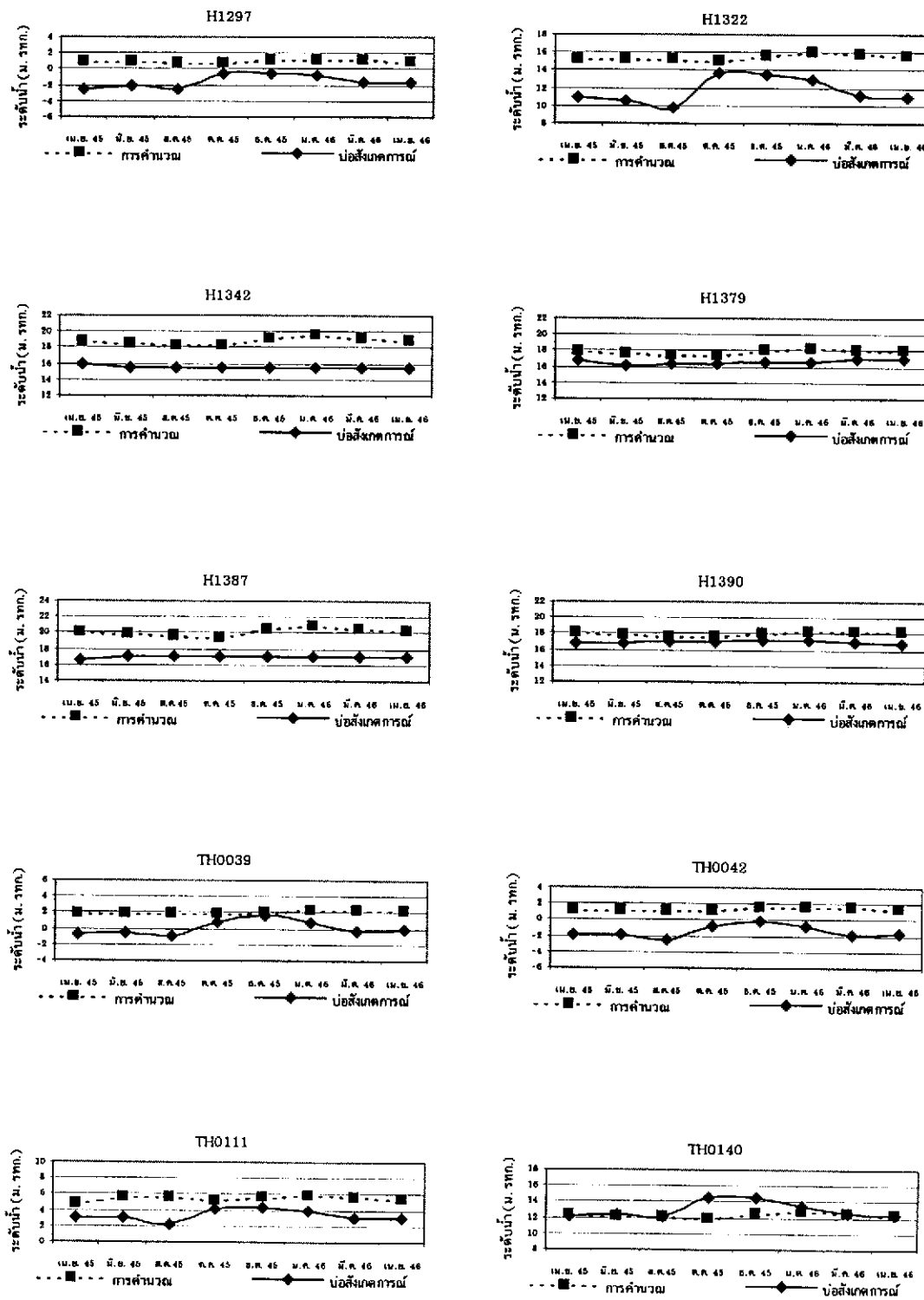
รูปที่ 4-17 แผนภาพแสดงผลการจำลองการไหลของน้ำบาดาลในสภาวะที่ไม่มีข้อจำกัดตามเวลา ที่ระบุไว้ในรูป (สิงหาคม พ.ศ. 2545)



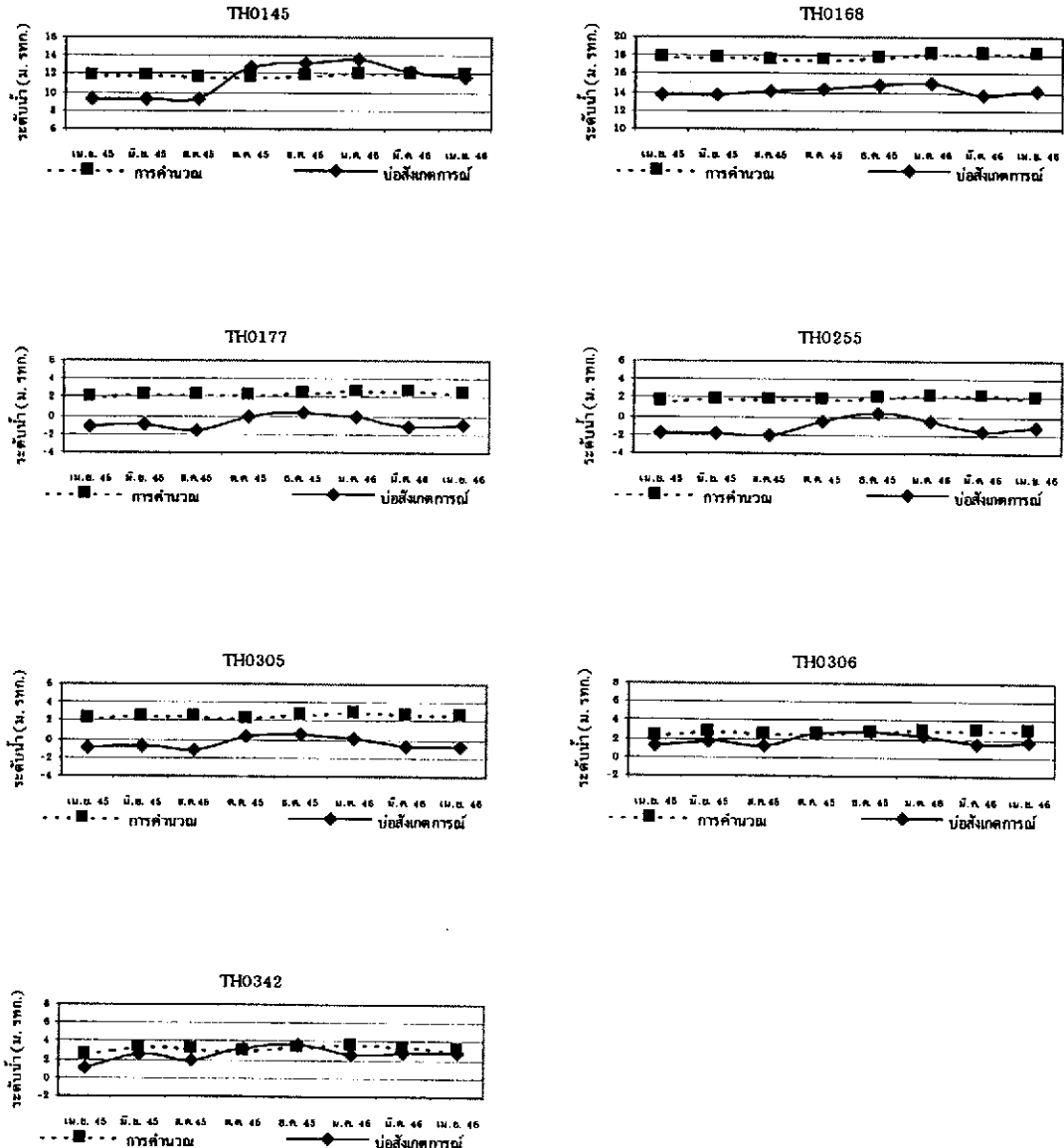
รูปที่ 4-18 กราฟแสดงค่าระดับน้ำภาคที่ได้จากการคำนวณกับค่าที่วัดไว้ในสถานะของป่าสังเกตการณ์



รูปที่ 4-18 (ต่อ)



รูปที่ 4-18 (ต่อ)



รูปที่ 4-18 (ต่อ)

เนื่องจากบ่อบาดาลบ่อนีมีการคิดตั้งระบบประปาบนที่ชั้นมีการสูบน้ำโดยระบบอัตโนมติ เวลาที่ทำการวัดอาจอยู่ในช่วงที่ระดับน้ำศีนตัวยังไม่ถึงระดับน้ำปกติ

บ่อสังเกตการณ์ H0439, H1322, TH0168, H1387 และ H1342 ซึ่งอยู่บริเวณด้านทิศใต้ของแบบจำลอง มีค่าความคลาดเคลื่อนเกิน 3 เมตร จากการจำลองในสภาวะคงที่ ในสภาวะที่มีการเปลี่ยนแปลงตามเวลาที่มีความคลาดเคลื่อนสูงเกิน 3 เมตร เช่นกัน แต่รูปแบบการเปลี่ยนแปลงของระดับน้ำในแต่ละเดือนมีความสอดคล้องกับค่าได้จากการวัดจริง ดังแสดงในรูปที่ 4-18 ความผิดพลาดที่เกิดขึ้นได้อธิบายໄວแล้วในผลการจำลองในสภาวะคงที่ (หน้าที่ 81)

กลุ่มนบ่อสังเกตการณ์ในพื้นที่ใกล้ทะเลสาบสงขลา (ทางทิศเหนือของพื้นที่ศึกษา) ได้แก่ บ่อ H0631, H0635, H0636, H0752, H1246, H1291, H1294, H1297, TH0042, TH0177, TH0255 และ TH0305 ระดับน้ำบ่อเดียวกันบ่อสังเกตการณ์ในบริเวณนี้อยู่ต่ำกว่าระดับทะเลปานกลาง แต่จากการคำนวณพบว่าระดับน้ำที่ได้มีค่าสูงกว่าระดับทะเลปานกลาง โดยมีค่าความคลาดเคลื่อนเฉลี่ยประมาณ 2 เมตร ทั้งนี้น่าจะเกิดความผิดพลาดจากการกำหนดชนิดชั้นหินให้น้ำในแหล่งกรดเชลของแบบจำลอง เช่นเดียวกับที่กล่าวไว้แล้วข้างต้น ประกอบกับเนื่องจากพื้นที่บริเวณนี้มีลักษณะทางอุกちはวิทยาเป็นชั้นหินให้น้ำตะกอนน้ำพาน ซึ่งประกอบไปด้วย กรวดราย รายแม่น้ำ และดินเหนียว ที่สะสมตัวโดยทางน้ำสมัยโบราณ และทางน้ำสายปัจจุบัน ลักษณะทางอุกหะรัมวิทยาซึ่งมีความซับซ้อน ในชั้นหินให้น้ำมีคินเนียนี่วะแทรกตัวอยู่เป็นช่วงๆ แต่ในการจำลองไม่สามารถกำหนดชนิดชั้นหินให้น้ำของพื้นที่นี้ให้เหมือนสภาพจริงในธรรมชาติได้แน่นอน และค่าสัมประสิทธิ์การยอมให้น้ำซึ่งผ่านในแนวตั้งของชนิดชั้นหินให้น้ำที่ใส่ในแบบจำลองมีค่าสูงเกินไป ทำให้ค่าระดับน้ำที่ได้จากการคำนวณมีค่าสูงกว่าค่าที่วัดได้จริงจากสนาม

บ่อสังเกตการณ์อื่นๆ ซึ่งอยู่ในบริเวณตอนกลางของพื้นที่แบบจำลอง พนว่าค่าระดับน้ำที่ได้จากการคำนวณมีค่าใกล้เคียงกับค่าที่วัดได้จริง โดยมีค่าความคลาดเคลื่อนน้อยกว่า 3 เมตร เนื่องจากพื้นที่บริเวณนี้อยู่ในเขตพื้นที่อำเภอหาดใหญ่ ซึ่งเป็นพื้นที่ที่มีการศึกษาข้อมูลลักษณะชั้นน้ำบ่อเดียวกันของกรมทรัพยากรน้ำบ่อเดียวกันมากกว่าพื้นที่อื่นๆ ทำให้มีข้อมูลนำเข้าสู่แบบจำลองละเอียดขึ้น ผลการจำลองที่ได้จึงมีความใกล้เคียงกับสภาพจริงในธรรมชาติมากกว่า กลุ่มนบ่อสังเกตการณ์ในพื้นที่ใกล้ทะเลสาบสงขลา และบริเวณด้านทิศใต้ของแบบจำลองที่กล่าวมาข้างต้น

สมดุลของน้ำเฉลี่ยรายปีของแบบจำลองในสภาวะที่มีการเปลี่ยนแปลงตามเวลา แสดงในตาราง 4-8

ตาราง 4-8 สมดุลของน้ำบาดาลจากการจำลองในสภาวะที่มีการเปลี่ยนแปลงตามเวลา

| แหล่ง | ปริมาณการไหลเข้า (ล้าน ลบ.ม./ปี) | ปริมาณการไหลออก (ล้าน ลบ.ม./ปี) |
|------------------------------|-------------------------------------|------------------------------------|
| Storage | 136.82 | 131.63 |
| Constant Head | 0 | 12.13 |
| Wells | 0 | 16.55 |
| Recharge | 120.39 | 0 |
| River Leakage | 1.59 | 108.64 |
| General-Head | 10.46 | 0.31 |
| Total | 269.25 | 269.25 |
| IN - OUT = 0 ล้าน ลบ.ม./ปี | | |
| Percent Discrepancy = 0.00 % | | |

| | | |
|---------------|---|---|
| Storage | = | การกักเก็บน้ำในชั้นหินให้น้ำ |
| Constant Head | = | ขบวนทางที่มีระดับน้ำคงที่ (ทะเลสาบสงขลา) |
| Wells | = | น้ำบาดาลที่มีการสูบน้ำ |
| Recharge | = | การเพิ่มน้ำสู่หินจากน้ำฝน |
| River Leakage | = | ขบวนทางแม่น้ำ (คลองรัตภูมิและคลองอู่ตะเภา) |
| General-Head | = | ขบวนทางที่มีน้ำไหลเข้า (เทือกเขาค้านตะวันออก-ตะวันตก) |

จากข้อมูลสมดุลของน้ำพบว่า ปริมาณน้ำที่ไหลเข้าสู่แบบจำลองมาจาก น้ำที่ กักเก็บอยู่ในชั้นหินให้น้ำ 136.82 ล้านลูกบาศก์เมตรต่อปี การเพิ่มน้ำสู่หินจากน้ำฝน 120.39 ล้านลูกบาศก์เมตรต่อปี มีการเติมน้ำจากชั้นหินให้น้ำของน้ำบาดาลในหินแข็ง (เทือกเขาค้าน ตะวันออก-ตะวันตก) เข้ามาในแบบจำลอง 10.46 ล้านลูกบาศก์เมตรต่อปี และมีการไหลซึมของน้ำ จากคลองรัตภูมิและคลองอู่ตะเภาเข้าสู่แบบจำลอง 1.59 ล้านลูกบาศก์เมตรต่อปี รวมปริมาณน้ำไหลเข้าระบบทั้งหมด 269.25 ล้านลูกบาศก์เมตรต่อปี ส่วนปริมาณน้ำที่ไหลออกจากแบบจำลอง ไหลออกไปกักเก็บในชั้นหินให้น้ำ 131.63 ล้านลูกบาศก์เมตรต่อปี คลองรัตภูมิและคลองอู่ตะเภา 108.64 ล้านลูกบาศก์เมตรต่อปี น้ำบาดาลที่มีการสูบน้ำ 16.55 ล้านลูกบาศก์เมตรต่อปี ทะเลสาบสงขลา 12.13 ล้านลูกบาศก์เมตรต่อปี และชั้นหินให้น้ำของน้ำบาดาลในหินแข็ง 0.31 ล้านลูกบาศก์เมตรต่อปี รวมปริมาณน้ำไหลออกจากแบบจำลองทั้งหมด 269.25 ล้านลูกบาศก์เมตรต่อปี

เมื่อพิจารณาการไหลซึมของน้ำที่เข้าและจากคลองรัตภูมิและคลองอู่ตะเภา ในแต่ละเดือนพบว่า ในช่วงฤดูฝน ปริมาณน้ำจากคลองรัตภูมิและคลองอู่ตะเภาไหลซึมเข้าสู่แบบจำลองมีค่ามากกว่าในฤดูแล้ง ในทางกลับกัน ในช่วงฤดูแล้ง ปริมาณน้ำจากแบบจำลองไหล

ออกสู่คลองรัตภูมิและคลองอู่ตะเภามากกว่าในดุกฟัน (ตาราง 4-9) นั่นแสดงว่า น้ำในคลองรัตภูมิและคลองอู่ตะเภาบางส่วนได้ไหลเข้ามาเพิ่มเติมให้กับแหล่งน้ำค่าลในช่วงดุกฟัน ส่วนในช่วงดุกแล้ง น้ำค่าลก็จะไหลเพิ่มเติมออกสู่คลองทั้งสองชั้นกัน ซึ่งผลการศึกษามีความสอดคล้องกับสูตรพลด อารีย์กุล (2534)

ตาราง 4-9 ปริมาณน้ำจากคลอง รัตภูมิและคลองอู่ตะเภาที่ไหลเข้าสู่แบบจำลอง และปริมาณน้ำที่ไหลออกจากแบบจำลองสู่คลองรัตภูมิและคลองอู่ตะเภา ในช่วงเดือนเมษายน พ.ศ. 2545 ถึง มีนาคม พ.ศ. 2546

| เดือน | ปริมาณน้ำ (ล้าน ลบ.ม./เดือน) | |
|-----------|---|--|
| | จากคลองรัตภูมิและคลองอู่ตะเภา ไหลเข้าสู่แบบจำลอง | จากแบบจำลองไหลออกสู่ คลองรัตภูมิและคลองอู่ตะเภา |
| เม.ย. 45 | 0.06 | 8.50 |
| พ.ค. 45 | 0.06 | 9.54 |
| มิ.ย. 45 | 0.06 | 10.44 |
| ก.ค. 45 | 0.07 | 10.73 |
| ส.ค. 45 | 0.09 | 9.95 |
| ก.ย. 45 | 0.10 | 8.83 |
| ต.ค. 45 * | 0.26 | 6.58 |
| พ.ย. 45 * | 0.50 | 4.71 |
| ธ.ค. 45 * | 0.30 | 5.96 |
| ม.ค. 46 | 0.03 | 11.30 |
| ก.พ. 46 | 0.03 | 10.44 |
| มี.ค. 46 | 0.04 | 11.64 |

* ดุกฟัน

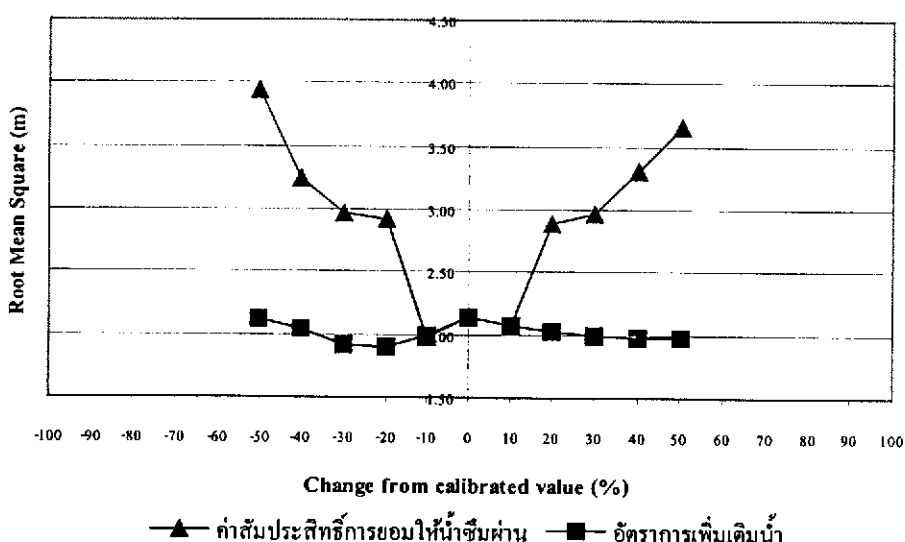
4.5 การวิเคราะห์ความอ่อนไหวของแบบจำลอง

การวิเคราะห์ความอ่อนไหวของแบบจำลองเป็นการจำลองซ้ำ โดยเปลี่ยนค่าพารามิเตอร์ที่ใช้ในการจำลองหลังจากปรับแก้ค่าสมบูรณ์แล้ว เพื่อดูว่าผลของการเปลี่ยนแปลงพารามิเตอร์นั้นๆ มีผลต่อแบบจำลองมากน้อยเพียงใด

4.5.1 การวิเคราะห์ความอ่อนไหวของแบบจำลองกรณีการจำลองในสภาพแวดล้อมที่

ในการศึกษาครั้งนี้ได้ทำการวิเคราะห์ความอ่อนไหวของพารามิเตอร์ 2 ค่า คือ ค่าสัมประสิทธิ์การยอมให้น้ำซึมผ่าน และอัตราการเพิ่มเติมน้ำ โดยทำการเปลี่ยนพารามิเตอร์ครั้งละ 10% ครั้งละ 1 พารามิเตอร์ เปรียบเทียบผลการจำลองที่ได้กับผลของชุดข้อมูลปรับเทียบสมบูรณ์ โดยพิจารณาค่าเฉลี่ยรากที่สองของความคลาดเคลื่อน (RMS) เป็นหลัก แล้วนำข้อมูลที่ได้มาวิเคราะห์ในรูปของกราฟความสัมพันธ์ระหว่างการเปลี่ยนแปลงของพารามิเตอร์กับค่าเฉลี่ยรากที่สองของความคลาดเคลื่อนของค่าระดับน้ำที่ได้

ผลการวิเคราะห์ความอ่อนไหวของแบบจำลองแสดงในรูปที่ 4-19 พารามิเตอร์ที่มีผลต่อการเปลี่ยนแปลงมากที่สุด คือ ค่าสัมประสิทธิ์การยอมให้น้ำซึมผ่าน อัตราการเพิ่มเติมน้ำตามลำดับ



รูปที่ 4-19 กราฟแสดงผลการวิเคราะห์ความอ่อนไหวของแบบจำลองกรณีการจำลองในสภาพแวดล้อมที่

4.5.2 การวิเคราะห์ความอ่อนไหวของแบบจำลองกรณีสภาพที่มีการเปลี่ยนแปลงตามเวลา

การวิเคราะห์ความอ่อนไหวทำโดยเปลี่ยนพารามิเตอร์ ได้แก่ ค่าสัมประสิทธิ์การยอมให้น้ำซึมผ่าน ค่าสัมประสิทธิ์การกักเก็บจำเพาะ และอัตราการเพิ่มเติมน้ำ ทีละพารามิเตอร์ ครั้งละ 10% เปรียบเทียบผลการจำลองที่ได้กับผลของชุดข้อมูลที่ปรับแก้แล้ว โดยพิจารณาค่าเฉลี่ยรากที่สองของความคลาดเคลื่อนเป็นหลัก แล้วนำผลที่ได้มาวิเคราะห์ในรูปของกราฟความสัมพันธ์ระหว่างการเปลี่ยนแปลงพารามิเตอร์กับค่าเฉลี่ยรากที่สองของความคลาดเคลื่อนของระดับน้ำ

ตาราง 4-10 การตรวจสอบแบบจำลองกับข้อมูลการตรวจระดับน้ำเดือนกุมภาพันธ์ พ.ศ. 2547

| หมายเลขป้อง | พิกัด | | ค่าระดับปักบ่อบ่อ (ม.รทก.) | ชั้นที่ | ระดับน้ำ (ม.รทก.) | | คลาดเคลื่อน (ม.) |
|-------------|----------|-------------|----------------------------|---------|-------------------|----------|------------------|
| | ออก - ตก | เหนือ - ใต้ | | | บ่อสังเกตการณ์ | การคำนวณ | |
| TH0140 | 655401 | 763437 | 14.97 | 2 | 13.33 | 12.66 | -0.67 |
| H0439 | 658895 | 749442 | 20.00 | 2 | 15.95 | 19.79 | 3.84 |
| H1294 | 663005 | 783084 | 1.62 | 3 | -0.36 | 1.31 | 1.67 |
| H0631 | 663425 | 782079 | 2.71 | 3 | -0.34 | 1.57 | 1.91 |
| TH0039 | 662532 | 780438 | 4.75 | 3 | 0.60 | 2.32 | 1.72 |
| H0536 | 661006 | 771933 | 6.08 | 3 | 4.60 | 3.10 | -1.50 |
| H1322 | 663101 | 758086 | 16.01 | 3 | 12.31 | 16.10 | 3.79 |
| H1379 | 660474 | 753351 | 20.00 | 3 | 17.10 | 18.42 | 1.32 |
| H1042 | 656498 | 748810 | 21.38 | 3 | 19.95 | 22.79 | 2.84 |
| H0636 | 665579 | 788350 | 1.14 | 4 | -1.92 | 0.39 | 2.31 |
| H1246 | 665887 | 788370 | 0.92 | 4 | -1.05 | 0.39 | 1.44 |
| H0579 | 663779 | 783402 | 3.39 | 4 | 1.19 | 1.21 | 0.02 |
| H1291 | 661914 | 781877 | 1.85 | 4 | -0.42 | 1.97 | 2.39 |
| H0588 | 657744 | 780222 | 6.20 | 4 | 1.76 | 3.94 | 2.18 |
| H1176 | 660545 | 779525 | 3.64 | 4 | -0.30 | 2.74 | 3.04 |
| H0490 | 654894 | 759502 | 18.16 | 4 | 15.74 | 14.56 | -1.18 |
| H1297 | 662510 | 784363 | 1.59 | 5 | -1.72 | 1.15 | 2.87 |
| TH0042 | 663997 | 782341 | 3.02 | 5 | -0.92 | 1.56 | 2.48 |
| TH0255 | 663456 | 780783 | 3.09 | 5 | -0.07 | 2.20 | 2.27 |
| TH0168 | 661481 | 753354 | 19.76 | 5 | 15.06 | 18.48 | 3.42 |
| H1390 | 661107 | 751071 | 20.90 | 5 | 17.10 | 18.60 | 1.50 |
| H1387 | 658047 | 749528 | 20.00 | 5 | 17.06 | 20.80 | 3.74 |
| H0752 | 660349 | 786243 | 1.32 | 6 | -0.62 | 1.16 | 1.78 |
| H1226 | 655841 | 780632 | 7.33 | 6 | 3.48 | 5.02 | 1.54 |
| TH0342 | 665391 | 776054 | 4.51 | 6 | 2.54 | 3.25 | 0.71 |
| H1202 | 660968 | 774022 | 7.54 | 6 | 0.06 | 2.04 | 1.98 |
| H0510 | 662710 | 767777 | 11.17 | 6 | 9.05 | 6.85 | -2.20 |
| TH0145 | 652194 | 767467 | 19.53 | 6 | 14.97 | 12.21 | -2.76 |
| H0687 | 662753 | 766517 | 14.42 | 6 | 11.13 | 8.09 | -3.04 |
| H0635 | 659697 | 788924 | 1.28 | 7 | -1.03 | 0.69 | 1.72 |

ตาราง 4-10 (ต่อ)

| หมายเลขบ่อก | พิกัด | | ค่าระดับปากบ่อก (ม.รทก.) | ชั้น ที่ | ระดับน้ำ (ม. รทก.) | | คลาดเคลื่อน (ม.) |
|-------------|----------|-------------|-----------------------------|-------------|--------------------|----------|---------------------|
| | ออก - ตก | เหนือ - ใต้ | | | บ่อกสังเกตการณ์ | การคำนวณ | |
| TH0111 | 655415 | 780609 | 7.65 | 7 | 3.67 | 5.42 | 1.75 |
| TH0306 | 659964 | 779775 | 3.86 | 7 | 2.34 | 2.97 | 0.63 |
| TH0305 | 660631 | 778322 | 4.50 | 9 | 0.47 | 2.80 | 2.33 |
| TH0177 | 661010 | 779010 | 3.40 | 10 | -0.05 | 2.65 | 2.70 |
| H0787 | 654152 | 773435 | 13.50 | 10 | 10.54 | 9.14 | -1.40 |
| H1342 | 659000 | 750298 | 20.00 | 10 | 15.55 | 19.42 | 3.87 |
| H1227 | 665963 | 755369 | 21.32 | 11 | 15.62 | 18.50 | 2.88 |

เมื่อเปรียบเทียบความแตกต่างของระดับน้ำที่ได้จากการคำนวณกับที่วัดจริงในเดือนกุมภาพันธ์ พ.ศ. 2547 บ่อกสังเกตการณ์ที่มีความคลาดเคลื่อนมากกว่า 3 เมตร ก็ยังเป็นบ่อกซุดเดียวกับที่คลาดเคลื่อนในการจำลองในสภาพวิเคราะห์ที่และที่มีการเปลี่ยนแปลงตามเวลา จากการวิเคราะห์ความอ่อนไหวของแบบจำลองกรณีในสภาพวิเคราะห์ที่และสภาพที่มีการเปลี่ยนแปลงตามเวลา พรารถนาไมเตอร์ที่มีผลต่อการเปลี่ยนแปลงมากที่สุดจากทั้ง 2 กรณี คือ ค่าสัมประสิทธิ์การยอมให้น้ำซึ่งผ่านในแนวตั้งที่ใส่ในแบบจำลองนี้ค่าสูงกว่าความเป็นจริง ระดับน้ำจากการคำนวณจึงมีค่าสูงกว่าระดับน้ำที่วัดได้ นั่นแสดงว่าแบบจำลองนี้สามารถจำลองสภาพอุทกธรณ์วิทยาของแม่น้ำได้ใกล้เคียงกับสภาพจริงในธรรมชาติเฉพาะพื้นที่ตอนกลางของแม่น้ำ ส่วนพื้นที่บริเวณใกล้ทั่วไปสามารถจำลองและบริเวณด้านทิศใต้ของแบบจำลองต้องมีการปรับปรุงแบบจำลองให้มีความถูกต้องมากยิ่งขึ้น